

وزارة التربية الوطنية
MINISTERE DE L'EDUCATION NATIONALE

ECOLE NATIONALE POLYTECHNIQUE

المركز الوطني للتكنولوجيا
BIBLIOTHEQUE - المكتبة
Ecole Nationale Polytechnique

DEPARTEMENT

Alger

PROJET DE FIN D'ETUDES

SUJET

Etude de la faisabilité technique et économique de la production de ciment Portland dans la région de [illegible]

Proposé par :

[Signature]

Etudié par :

[Signature]

[Signature]

Dirigé par :

[Signature]

PROMOTION

[Signature]

الجمهورية الجزائرية الديمقراطية الشعبية
REPUBLIQUE ALGERIENNE DEMOCRATIQUE ET POPULAIRE

وزارة التربية الوطنية
MINISTERE DE L'EDUCATION NATIONALE

ECOLE NATIONALE POLYTECHNIQUE

DEPARTEMENT *Genie Electrique*

المدرسة الوطنية المتعددة التقنيات
BIBLIOTHEQUE — المكتبة
Ecole Nationale Polytechnique

PROJET DE FIN D'ETUDES

SUJET

*Etude comparative des différentes
méthode de calcul d'écoulement de puissance
et applications.*

Proposé par :

A. HELLAL

Etudié par :

M. LAÏB

H. OUABRI

Dirigé par

A. HELLAL

PROMOTION

Juillet 1993

بِسْمِ اللَّهِ الرَّحْمَنِ الرَّحِيمِ

وقل رب زدني علماً

DEDICACES

Je dédie cette étude

*A ceux qui sont les plus chers, mes parents qui m'ont montré
le chemin de l'école, et pour leur sacrifices qui ont aboutis
au résultats après leurs longue patience.*

A la mémoire de ma grande mère

A mes frères et soeurs

A mon neveu Imed-Eddine et ma nièce Rahma

A tous mes amis

A toutes les familles LAIB et GABOUSSA

M.LAIB

Je dédie ce mémoire

A la mémoire de mon père

A la mémoire de ma mère

A mes frères et soeurs

A toute ma famille

A tous mes amis

H.OUABRI

REMERCEMENTS

Nous tenons à exprimer nos sincères remerciement à Mr: A.HELLAL d'avoir proposer et dirigé ce travail et pour son aide et ses conseils qu'il nous a prodigué.

Nous remercions aussi Mr: A.BENSENOUSI; pour son aide et tous les conseils qu'il nous a donné lors de la réalisation de ce mémoire

Nos remerciement vont également à tous les enseignants de département Génie électrique qui ont contribué à notre formation, en particulièrement Mr: L.NEZLI ET M.E.ZAIM.

Que tous ceux qui ont contribué, de près ou de loin à l'élaboration de ce sujet trouve ici l'expression de notre profonde gratitue.

SOMMAIRE

C	h	a	p	i	t	r	e	I	:
Intoduction.....									1
Chapitre II: Solutions numériques d'équations mathematiques									
II-1	Introduction.....								4
II-2	Résolution des systèmes d'équations linèaires Méthodes directes.....								4
II-2.1	Méthode de GROUT et DOOLITTLE								4
II-2.2	Résolution par l'inversion de Shipley-Coleman								7
II-3	Résolution des systèmes d'équations linèaires Méthodes itératives.....								8
II-3.1	Méthode de Jacobi								8
II-3.2	Méthode de GAUSS-SEIDEL.....								10
II-3.3	Méthode de relaxation.....								13
II-4	Résolutions des équations nonlinèaires utilisant la méthode de NEWTON-RAPHSON (NR).....								17

II-5 Conclusion.....	22
----------------------	----

Chapitre III: Modelisation du système d'énergie et analyse d'écoulement de puissance

III-1 Introduction.....	24
III-2 Modelisation des générateurs.....	24
III-3 Modelisation d'une charge.....	25
III-4 Modelisation d'une compensation shunt.....	25
III-5 Modelisation d'une ligne.....	25
III-6 Modelisation des transformateurs.....	29
III-6.1 Transformateur à pas fixe.....	29
III-6.2 Transformateur à prise variable.....	32
III-6.4 transformateur déphaseur.....	32
III-7 Développement des équations d'écoulement de puissance	
III-7.1 formulation du problème de E.P.....	34
III-7.2 Equations de E.P d'un réseau de trois noeuds.....	34
III-7.3 Calcul des puissances transitées dans les lignes.....	36
III-7.4 Calcul des pertes de puissance.....	37

Chapitre IV: Techniques de solution du problème de E.P

IV-1 Introduction.....	38
IV-2 Méthode de GAUSS-SEIDEL utilisant [Y]nodale.....	38
IV-2.1 Algorithme de calcul.....	39

IV-2.2 Utilisation de facteur d'accélération	42
IV-2.3 Organigramme de GS	42
IV-3 Méthode de NEWTON-RAPHSON UTILISANT Y nodale	44
IV-3.1 Méthode de NEWTON-RAPHSON	44
IV-3.1.1 Application de NR en coordonnées rectangulaires	44
IV-3.1.2 Application de NR en coordonnées polaires	48
IV-3.2 Méthode de NR pour les nœuds à tensions contrôlées	51
IV-3.3 Algorithme de calcul	53
IV-3.4 Organigramme de NR	54
IV-4 Conclusion	56

Chapitre V: La méthode découplée rapide de calcul d'écoulement de puissance

V-1 Introduction	56
V-2 Découplage de la méthode NR	56
V-3 Méthode découplée rapide d'écoulement de puissance	62
V-4 Organigramme de la méthode FDL	66
V-5 Algorithme de la méthode FDL	66
V-6 Etude théorique de la convergence de FDL	68
V-7 Modification de FDL pour des réseaux avec des rapports R/X élevés	72
V-7.1 Première modification	72
V-7.2 Seconde modification	73

V-8 Résumé des différents cas de l'algorithme de FDL73
V-9 Conclusion.....74

Chapitre VI: Application et comparaison des méthodes

VI-1 Introduction.....75
VI-2 Convergence.....75
VI-3 Temps de résolution.....77
VI-4 Effet de capacité série.....78
VI-5 Comparaison entre les différentes versions de FDL79

Chapitre VII: CONCLUSION87

INTRODUCTION

Dans les réseaux d'énergie électrique, plusieurs problèmes de planification doivent être étudiés et résolus pour un fonctionnement satisfaisant, fiable et de qualité. L'un des problèmes importants étudiés, aussi bien dans la planification que pendant le fonctionnement des réseaux électriques, est celui du calcul d'écoulement de puissance. Le problème consiste, essentiellement, en la détermination des tensions complexes de tous les noeuds du réseau donné et à partir de celles-ci, toutes les puissances s'écoulant dans les lignes, transformateurs,... etc seront calculées.

Avant 1929 tout le calcul de l'écoulement de puissance se faisait manuellement. Le premier article qui a décrit la première méthode a été publié en 1954. Cependant, le premier succès réel de la méthode numérique a été développé par Ward et Hale en 1956; la plupart des premières méthodes itératives sont basées sur la matrice admittance $[Y]$ pour la méthode de GAUSS-SEIDEL, car elle exige un minimum de mémoire de stockage et petit nombre d'itérations pour de petits réseaux.

Comme la taille du réseau a considérablement augmenté, le nombre d'itérations nécessaire a également augmenté. Dans quelques cas, la méthode de GAUSS-SEIDEL ne converge pas, (exemple: système avec impédance négative), donc la conduite à la convergence est lente et l'échec fréquent pour les situations des mal-conditionnement. Ces difficultés rencontrées dans l'étude de l'écoulement de puissance mènent au développement de la méthode de NEWTON-RAPHSON, elle est développée par Van Nen et Griffin en premier lieu et après par des autres. Cette méthode est basée sur l'algorithme de NEWTON-RAPHSON pour résoudre simultanément les équations quadratiques des réseaux électriques.

L'algorithme de GAUSS-SEIDEL nécessite un nombre d'itérations important, par

contre la méthode NR n'a besoin que de quelques itérations pour la convergence, ce dernière ne depend pas de la taille du réseau.

Plusieurs recherches récentes se sont concentrés au développement du découplage de la méthode de NEWTON-RAPHSON, en se basant sur l'effet que dans n'importe quel réseau de transmission, il existe une dépendance entre P et θ (ie la puissance active et la phase de tension), et Q et V (ie, la puissance réactive et l'amplitude de tension). Cette méthode découplée transforme le problème de l'écoulement de puissance en deux sous problèmes $P-\theta$ et $Q-V$ séparés; ainsi la solution obtenue fait appel à l'approximation de la méthode NR. Cette méthode possède une bonne précision et vitesse rapide et peut être utilisée en temps réel pour des cas de défaut ou de régimes anormaux.

En plus, les systèmes d'énergies et donc les tailles du problème à résoudre, augmentent continuellement avec le développement des ordinateurs de grande capacité. Ainsi des autres recherches ont amélioré la méthode découplée, en supposant certaines hypothèses physiquement justifiables, ce qui amène à une méthode très rapide de la résolution de problème d'écoulement de puissance.

Dans le cadre de ce projet nous exposerons quelques méthodes largement utilisées dans le calcul de l'écoulement de puissance et présenterons plus particulièrement une méthode très rapide avec trois versions principales.

Le plan de ce travail se résume comme suit:

pour simplifier l'étude, nous avons établi au 1er chapitre une préliminaire mathématique concernant les solutions numériques de système d'équations.

Au 2ème chapitre, nous développerons des modèles simplifiés des composants essentiels d'un réseau d'énergie électrique et faire une analyse d'écoulement de puissance.

Après avoir formulé le problème, nous exposerons au 4ème chapitre, deux méthodes largement utilisées dans le calcul d'écoulement de puissance à savoir la méthode de GAUSS-SEIDEL et la méthode de NEWTON-RAPHSON.

Par des simplifications, physiquement justifiables, sur l'algorithme de NEWTON-RAPHSON, nous aboutirons à une méthode de calcul rapide de l'écoulement de puissance; ce qui est l'objet du 5ème chapitre.

Pour les trois méthodes, nous développerons trois programmes en FORTRAN que nous testerons sur des réseaux standards IEEE. Les résultats de nos simulations seront rassemblés et présentés au 6ème chapitre.

CHAPITRE

II

II.1 INTRODUCTION:

Les modèles mathématiques des réseaux électriques utilisés dans l'étude d'écoulements de puissance et stabilité sont exprimés sous forme d'équations algébriques linéaires ou nonlinéaires et sous forme d'équations différentielles.

Donc, pour résoudre ces équations mathématiques par ordinateur il est nécessaire de transformer ces dernières en algorithmes en utilisant les méthodes numériques.

Dans ce chapitre on présentera seulement les techniques numériques de résolution d'équations algébriques utilisées dans le calcul d'écoulement de puissance (C.E.P), telles que les méthodes directes et itératives.

II.2 RESOLUTION DES SYSTEMES D'EQUATIONS LINEAIRES-METHODES DIRECTES:**II.2.1 METHODES PAR FACTORISATION LU DE DOOLITTLE et CROUT:**

II.2.1.1 PRINCIPE: En général on a l'équation matricielle: $Ax=b$

$$Ax=b \quad (2.1)$$

Ces méthodes passent par la décomposition de A en: $A=LU$ (2.2)

Où L est une matrice triangulaire inférieure et U une matrice triangulaire supérieure.

Le système (2.1) devient: $LUx=b$ (2.3)

qui peut se décomposer en: $Ly=b$ (2.4)

$$Ux=y \quad (2.5)$$

Le système (2.4) à matrice triangulaire inférieure se résout immédiatement par la formule suivante:

$$Y_i = \frac{1}{L_{ii}} [B_i - \sum_{j=1}^{i-1} L_{ij} Y_j] \quad i=1, n \quad (2.6)$$

En reportant la solution $y=L^{-1} b$ de l'équation (2.4) dans l'équation (2.5), on voit que c'est un système à matrice triangulaire supérieure et la formule suivante:

$$X_i = \frac{1}{U_{ii}} [Y_i - \sum_{j=i+1}^n U_{ij} X_j] \quad i=n, 1 \quad (2.7)$$

Dont le vecteur x qui est bien la solution :

$$x = U^{-1}y = U^{-1}L^{-1}b = A^{-1}b$$

II.2.1.2 DESCRIPTION DES METHODES DE FACTORISATION:

En développant l'équation (2.2), on obtient:

$$a_{ij} = \sum_{k=1}^n l_{ik} U_{kj} \quad (2.8)$$

Où, par définition $l_{ik} = 0$ si $k > i$

$$U_{kj} = 0 \quad \text{si } k > j$$

D'où:

$$a_{ij} = \sum_{k=1}^{\min(i, j)} l_{ik} U_{kj} \quad (2.9)$$

La partie triangulaire supérieure de A a pour termes:

$$a_{rj} = \sum_{k=1}^r l_{rk} U_{kj} \quad j=r, r+1, \dots, n \quad (2.10)$$

La partie triangulaire inférieure de A a pour éléments:

$$a_{ir} = \sum_{k=1}^r l_{ik} u_{kr} \quad i=r, r+1, \dots, n \quad (2.11)$$

D'où:

$$u_{rj} = \frac{a_{rj} - \sum_{k=1}^{r-1} l_{rk} u_{kj}}{l_{rr}} \quad j=r, \dots, n \quad (2.12)$$

$$l_{ir} = \frac{a_{ir} - \sum_{k=1}^{r-1} l_{ik} u_{kr}}{u_{rr}} \quad i=r, \dots, n \quad (3.13)$$

Les équations (2.12) et (2.13) étant vrai $\forall r=1, 2, \dots, n$

Supposons que l'on connaisse les n^2 éléments (a_{ij}) et que l'on cherche les (n^2+n) éléments non nuls des matrices L et U.

Les systèmes (2.9), (2.12) et (2.13) sont donc de n^2 équations à (n^2+n) inconnues. Il y a donc n paramètres à fixer arbitrairement, dans (2.12) et (2.13), on pourra par exemple fixer les éléments diagonaux u_{rr} ou l_{rr} des matrices U ou L.

On débouche sur les deux algorithmes les plus connus.

Algorithme de DOOLITTLE : $l{ii} = 1, \forall i$

Algorithme de CROUT : $u{ii} = 1, \forall i$

Les algorithmes s'écrivent donc:

II.2.1.3 ALGORITHME DE FACTORISATION:(A --> LU) DE DOOLITTLE:

$$\begin{aligned}
 & l_{ii} = 1 \quad i=1, \dots, n \\
 & u_{rj} = a_{rj} - \sum_{k=1}^{r-1} l_{rk} u_{kj} \quad j=r, \dots, n \\
 & l_{ir} = \frac{[a_{ir} - \sum_{k=1}^{r-1} l_{ik} u_{kr}]}{u_{rr}} \quad i=r+1, \dots, n \\
 & \text{pour } r=1, \dots, n
 \end{aligned} \tag{2.14}$$

II.2.1.4 ALGORITHME DE FACTORISATION:(A-->LU) DE CROUT:

$$\begin{aligned}
 & u_{ii} = 1 \quad i=1, \dots, n \\
 & l_{ir} = a_{rj} - \sum_{k=1}^{r-1} l_{ik} u_{kr} \quad i=r, n \\
 & u_{rj} = \frac{[a_{rj} - \sum_{k=1}^{r-1} l_{rk} u_{kj}]}{l_{rr}} \quad j=r+1, \dots, n \\
 & \text{pour } j=r+1, \dots, n
 \end{aligned} \tag{2.15}$$

II.2.2 RESOLUTION PAR L'INVERSION DE SHIPLEY-COLEMAN:

Parfois, il est désirable de résoudre l'équation (2.1) par inversion de A tel que $x = A^{-1}b$

Une des méthodes les plus utilisées, Shipley-Colman est présentée ici, par l'algorithme suivant:

- 1-selectionner l'axe de A comme pivot P.
- 2-appliquer la reduction de KRON aux entrées A_{ij} de A en dehors du pivot P.

$$A_{ij} = A_{ij} - \frac{A_{ip} A_{pj}}{A_{pp}} \quad \begin{matrix} i \neq p \\ j \neq p \end{matrix} \tag{2.16}$$

3-remplacer l'entrée du pivot par son inverse et de signe opposé

$$A_{pp} = \frac{-1}{A_{pp}} \quad (2.17)$$

4-réduire les N éléments de l'axe P en dehors du pivot P en accord avec:

$$\begin{aligned} A_{ip} &= A_{ip} A_{pp} \\ A_{pi} &= A_{pi} A_{pp} \\ i &\neq p \end{aligned} \quad (2.18)$$

5-repeter les étapes 2, 3 et 4 pour P=2,3,...,n

le résultat est $-A^{-1}$ où $A = -A^{-1}$ (2.19)

6-l'inverse de la matrice A est donc:

$$A^{-1} = -A$$

II.3. RESOLUTION DES SYSTEME D'EQUATIONS LINEAIRES METHODE ITERATIVES:

II.3.1 METHODE DE JACOBI:

a) principe:

La matrice A de l'équation (2.1) étant décomposée en:

$$A = M - N = D - (L + U)$$

Le système $Ax = b$ devient alors:

$$Dx = (L + U)x + b$$

La méthode itérative de jacobi s'écrit donc:

$$Dx^{(k+1)} = (L + U)x^k + b$$

Soit:

$$x^{(k+1)} = D^{-1}(L+U)x^k + D^{-1}b \tag{2.20}$$

Qui peut s'écrire sous forme développée:

$$\begin{aligned} x_1^{(k+1)} &= \frac{(b_1 - a_{12}x_2^{(k)} - a_{13}x_3^{(k)} - \dots - a_{1n}x_n^{(k)})}{a_{11}} \\ x_2^{(k+1)} &= \frac{(b_2 - a_{21}x_1^{(k)} - a_{23}x_3^{(k)} - \dots - a_{2n}x_n^{(k)})}{a_{22}} \\ &\dots \\ x_n^{(k+1)} &= \frac{(b_n - a_{n1}x_1^{(k)} - a_{n2}x_2^{(k)} - \dots - a_{nn-1}x_{n-1}^{(k)})}{a_{nn}} \end{aligned} \tag{2.21}$$

Cette méthode suppose des pivots a_{ii} non nuls, (si ce n'est pas le cas une permutation de lignes ou de colonne est nécessaire).

b) tests d'arrêt des iterations:

Le test couramment utilisé concerne l'amélioration relative sur x .

On arrête le processus d'itérations lorsque:

$$\frac{\|x^{(k)} - x^{(k+1)}\|}{\|x^{(k)}\|} \leq \epsilon \tag{2.16}$$

(où ϵ est une précision choisie petite)

En résumé, l'algorithme de jacobi peut donc être représenté de la manière suivante en se donnant comme valeurs initiales les composantes du vecteur $x^{(0)}$.

c) Algorithme de Jacobi pour résolution de $Ax=b$

0) étant donnés $b, A, x^{(0)}, k_{max}, \epsilon$

le critère d'arrêt et parfois pris:

$$\|x^k - x^{k-1}\| \leq \epsilon \tag{2.25}$$

$$\begin{aligned}
 1) r_i^k &= b_i - \sum_{j=1}^n a_{ij} x_j^{(k)} & i=1, n \\
 2) x_i^{k+1} &= x_i^{(k)} + \frac{r_i^{(k)}}{a_{ii}} & i=1, n \\
 & \text{pour } k=0, 1, 2, \dots, k_{\max} \\
 3) \text{ arreter si } \frac{\|r\|}{\|b\|} & < \epsilon \text{ ou sur l'un des tests du b)
 \end{aligned}
 \tag{2.24}$$

II.3.2 METHODE DE GAUSS-SEIDEL:

a) principe:

La matrice A de l'equation (2.1) étant décomposée en :

$$A = M - N = (D - L) - U$$

Dans la méthode itérative de GAUSS-SEIDEL, peut s'écrire de la manière suivante:

$$X^{(k+1)} = (D-L)^{-1} U X^{(k)} + (D-L)^{-1} b \tag{2.26}$$

Comme l'inverse de (D-L) peut être compliquée à calculer, on préfère écrire le système comme :

$$(D-L) X^{(k+1)} = U X^{(k)} + b$$

soit encore :

$$D X^{(k+1)} = L X^{(k+1)} + U X^{(k)} + b$$

ou:

$$X^{(k+1)} = D^{-1} L X^{(k+1)} + D^{-1} U X^{(k)} + D^{-1} b$$

En développant cette récurrence vectorielle on obtient:

$$\begin{aligned}
 x_1^{(k+1)} &= \frac{(b_1 - a_{12}x_2^{(k)} - a_{13}x_3^{(k)} - \dots - a_{1n}x_n^{(k)})}{a_{11}} \\
 x_2^{(k+1)} &= \frac{(b_2 - a_{21}x_1^{(k+1)} - a_{23}x_3^{(k)} - \dots - a_{2n}x_n^{(k)})}{a_{22}} \\
 &\dots\dots\dots \\
 x_n^{(k+1)} &= \frac{(b_n - a_{n1}x_1^{(k+1)} - a_{n2}x_2^{(k+1)} - \dots - a_{nn-1}x_{n-1}^{(k+1)})}{a_{nn}}
 \end{aligned} \tag{2.27}$$

Cette méthode ne diffère de celle de Jacobi que par l'emploi immédiat qui est fait des nouveaux estimés $x^{(k+1)}$ à l'itération $(k+1)$. En effet dans l'expression des $x_i^{(k+1)}$ il faut bien remarquer que tous les $x_j^{(k+1)}$ qui apparaissent à droite du signe égal ont été calculés dans les étapes qui précèdent.

Comme pour la méthode de Jacobi, les a_{ii} doivent être non nuls.

b) Algorithme de GAUSS-SEIDEL pour la résolution d'un système linéaire $Ax = b$:

0) etant donnés $A, b, x^{(0)}, \epsilon_1, \epsilon_2, k_{max}$

$$1) x_i^{(k+1)} = \frac{[b_i - \sum_{j=1}^{i-1} a_{ij}x_j^{(k+1)} - \sum_{j=i+1}^n a_{ij}x_j^{(k)}]}{a_{ii}} \quad i=1, n \tag{2.28}$$

2) Arretersi $|x_i^{(k+1)} - x_i^{(k)}| < \epsilon_1$

$$\text{ou} \quad \frac{|x_i^{(k+1)} - x_i^{(k)}|}{|x_i^{(k+1)}|} < \epsilon_2$$

$k=1, 2, 3, 4, \dots, k_{max}$

d) Conditions pour la convergence de GAUSS-SEIDEL:

La formule itérative (2.26) permet de définir la matrice d'itération de GAUSS-SEIDEL par:

$$T_{GS} = (D-L)^{-1}U$$

Et le vecteur V par:

$$V_{GS} = (D-L)^{-1}b$$

La méthode de GAUSS-SEIDEL converge si $\|T_{GS}\| < 1$, ce qui se traduit aussi par:

$$\sum_{j=1, j \neq i}^n |a_{ij}| < a_{ii} \quad \text{pour } i=1, n$$

Il s'ensuit que la méthode de GAUSS-SEIDEL est aussi convergente quand A est à diagonale fortement dominante.

e) Remarques:

1. Une simple permutation de lignes peut transformer une convergence en divergence ou inversement.

2. La méthode de GAUSS-SEIDEL est plus rapide en convergence que la méthode de Jacobi.

En effet, dans une même itération on utilise pour calculer une nouvelle composante, celle qu'on vient de calculer. Donc intuitivement le $(k+1)$ ième itéré est plus proche (en un certain sens) de limite, pour la méthode de GAUSS-SEIDEL que pour la méthode de JACOBI.

3. Il faut remarquer que dans GAUSS-SEIDEL il n'est plus nécessaire d'avoir en mémoire deux vecteurs pour les itérés successifs, puisque une fois le calcul de $x_i^{(k+1)}$ effectué, il peut remplacer $x_i^{(k)}$ dans le vecteur des itérés car $x_i^{(k)}$ n'est plus utilisé par la suite.

L'économie de mémoire est d'autant plus importante qu'il est souvent inutile de mémoriser explicitement la matrice A. Dans ce cas JACOBI requiert $3n$ places en mémoire et GAUSS-SEIDEL $2n$ seulement.

II.3.3 METHODES DE RELAXATION:

a) principe:

Nous présentons dans cette section une méthode d'itération qui a les mêmes avantages que la méthode de GAUSS-SEIDEL mais qui converge plus rapidement. Pour cela introduisons le paramètre $\alpha \neq 0$ et posons :

$$x^{(k+1)} = x^{(k)} + \alpha (x^{(k+1)} - x^{(k)}) \quad (2.29)$$

où $x^{(k+1)}$ est le vecteur estimé par la méthode de GAUSS-SEIDEL.

Si $\alpha = 1$, on retrouve la méthode de GAUSS-SEIDEL.

Si $\alpha > 1$, on détermine la méthode de sur-relaxation.

Si $\alpha < 1$, on détermine la méthode de sous-relaxation.

L'algorithme (2.28) nous donne le développement de $x^{(k+1)}$:

$$x_i^{(k+1)} = \frac{(b_i - \sum_{j=1}^{i-1} a_{ij} x_j^{(k+1)}) - \sum_{j=i+1}^n a_{ij} x_j^{(k)}}{a_{ii}}$$

pour $i=1, n$

L'équation (2.29) nous permet alors d'écrire:

$$x_i^{(k+1)} = x_i^{(k)} + \alpha \left[\frac{(b_i - \sum_{j=1}^{i-1} a_{ij} x_j^{(k+1)} - \sum_{j=i+1}^n a_{ij} x_j^{(k)})}{a_{ii}} - x_i^{(k)} \right] \quad (2.30)$$

soit:

$$x_i^{(k+1)} = x_i^{(k)} + \alpha \left[\frac{(b_i - \sum_{j=1}^{i-1} a_{ij} x_j^{(k+1)} - \sum_{j=i+1}^n a_{ij} x_j^{(k)} - a_{ii} x_i^{(k)})}{a_{ii}} \right]$$

Finalement en faisant entrer sous le deuxième signe somme la quantité $a_{ii} x_i^{(k+1)}$ on obtient.

$$x_i^{(k+1)} = x_i^{(k)} + \frac{\alpha}{a_{ii}} (b_i - \sum_{j=1}^{i-1} a_{ij} x_j^{(k+1)} - \sum_{j=i}^n a_{ij} x_j^{(k)}) \quad (2.31)$$

b) Algorithme de relaxation pour la résolution de $Ax=b$:

0) étant donnés: $b, x^{(0)}, \epsilon_1, \epsilon_2, k_{max}, \alpha$

1)

$$x_i^{(k+1)} = x_i^{(k)} + \alpha \frac{(b_i - \sum_{j=1}^{i-1} a_{ij} x_j^{(k+1)} - \sum_{j=i}^n a_{ij} x_j^{(k)})}{a_{ii}} \quad (2.32)$$

$i=1, n$
 $k=0, k_{max}$

2) on arrête si l'une des conditions suivantes est vérifiée.

$$\begin{aligned} |x_i^{(k+1)} - x_i^{(k)}| < \epsilon_1 \\ \frac{|x_i^{(k+1)} - x_i^{(k)}|}{|x_i^{(k+1)}|} < \epsilon_2 \quad \forall i=1, n \end{aligned}$$

Remarque: la consommation en places mémoires est identique à celle de GAUSS-SEIDEL ce qui représente pour la mémorisation de A, b et x^(k): n² + 2n ou 2n places si A n'est pas mémorisé.

c) critères d'arrêts des iterations de GAUSS-SEIDEL et de Relaxation

Rappelons que la méthode de GS est un cas particulier de l'algorithme de relaxation avec α = 1.

L'algorithme de relaxation ne calcule pas explicitement le vecteur résidu r^(k) = b - Ax^(k). On ne peut donc pas construire un critère sur ce vecteur. Montrons cependant qu'il est lié au r^(k) suivant:

Ecrivons le résidu de la i-ème ligne:

$$r_i^{(k)} = b_i - \sum_{j=1}^{i-1} a_{ij} x_j^{(k+1)} - \sum_{j=i}^n a_{ij} x_j^{(k)} \tag{2.33}$$

L'algorithme (2.32) peut alors s'écrire :

$$r^{(k+1)} = x^{(k)} + \frac{\alpha}{a_{ii}} r_i^{(k)} \tag{2.34}$$

Sous forme vectorielle (2.33) s'écrit :

$$r^{(k)} = b - LX^{(k+1)} - UX^{(k)} - DX^{(k)} \tag{2.35}$$

Le vecteur résiduel s'écrit par définition:

$$r^{(k+1)} = b - LX^{(k+1)} - UX^{(k+1)} - DX^{(k+1)} \quad (2.36)$$

Qui peut s'écrire sous forme :

$$r^{(k+1)} = r^{(k)} + UX^{(k)} - UX^{(k+1)} + DX^{(k)} - DX^{(k+1)} \quad (2.37)$$

ou:

$$r^{(k+1)} = r^{(k)} - (U+D) (X^{(k+1)} - X^{(k)}) \quad (2.38)$$

En introduisant (2.34) dans (2.38) on obtient:

$$r^{(k+1)} = r^{(k)} - (U+D) \alpha D^{-1} r^{(k)} \quad (2.39)$$

d'où l'on tire :

$$r^{(k+1)} = [(1-\alpha)I - \alpha UD^{-1}] r^{(k)} \quad (2.40)$$

Des relations (2.34) et (2.40) on voit que si α n'est pas trop proche de zéro alors un test du type:

$$\frac{\|x^{(k+1)} - x^{(k)}\|}{\|x^{(k)}\|} < \epsilon_1$$

est équivalent au test

$$\frac{\|r\|}{\|b\|} < \epsilon_1$$

d) Conditions de convergence des méthodes de relaxation:

Nous cherchons les limites de α entre les quelles nous sommes assurés de la convergence de la méthode. Nous étudierons brièvement 3 cas :

- 1- cas d'une matrice A quelconque.
- 2- cas d'une matrice A symétrique définie positive.
- 3- cas d'une matrice A tridiagonale.
- Cas général: A matrice quelconque.

Théorème: on montre que pour toute matrice A une condition nécessaire de convergence est que : $0 < \alpha < 2$

- Cas des matrices à diagonale dominante.

Théorème: une condition suffisante de convergence est que A soit à diagonale strictement dominante avec : $0 < \alpha \leq 1$.

- Cas des matrices symétriques définies positives.

théorème: pour une matrice symétrique, définie positive la méthode de relaxation est convergente si et seulement si :

$$0 < \alpha < 2$$

II.4 RESOLUTION DES EQUATIONS NONLINEAIRES UTILISANT LA METHODE DE NEWTON-RAPHSON (NR)**a) principe:**

Si $f(x)$ est continue et dérivable dans le voisinage de x_0 alors le développement en série de Taylor autour d'un estimé $x^{(n)}$ s'écrit:

Si $x^{(n)}$ est un estimé proche de la solution x_0 de $f(x) = 0$, alors le carré de l'erreur $\epsilon^{(n)}$

$$f(x^*) = f(x^{(n)}) + f'(x^{(n)}) (x^* - x^{(n)}) + \frac{(x^* - x^{(n)})^2}{2!} f''(x^{(n)}) + \dots \quad (2.41)$$

(où $\epsilon^{(n)} = x^* - x^{(n)}$) et les termes de degré supérieur sont négligeables.

Sachant que $f(x^*) = 0$, on obtient la relation approximative

$$f(x^{(n)}) + f'(x^{(n)}) (x^* - x^{(n)}) = 0 \quad (2.42)$$

Et une approximation de l'erreur est donc:

$$\epsilon^{(n)} = \frac{-f(x^{(n)})}{f'(x^{(n)})} \quad (2.43)$$

on peut donc considérer qu'un meilleur estimé de x^* sera

$$x^{(n+1)} = x^{(n)} + \epsilon^{(n)} \quad (2.44)$$

des équations (2.43) et (2.44), on obtient l'algorithme de NR

$$x^{(n+1)} = x^{(n)} - \frac{f(x^{(n)})}{f'(x^{(n)})} \quad n=0, 1, \dots, n_{\max} \quad (2.45)$$

$$\text{ansi} \quad \Delta x = \frac{-f(x^{(n)})}{f'(x^{(n)})} \quad (2.46)$$

où:

$$\Delta x = x^{(n+1)} - x^{(n)} \quad (2.47)$$

Donc Δx peut être déterminée par la substitution de $x^{(n)}$ dans $f(x)$ et $f'(x)$, on arrête les itérations quand $|\Delta x| < \epsilon$, où ϵ est la tolérance.

On peut généraliser pour un système d'équations multivariées non linéaires.

Notons :

$$X^* = [x_1^*, x_2^*, x_3^*, \dots, x_n^*] \quad (2.48)$$

le vecteur solution du système non linéaire: $f_i(x) = 0 \quad i=1,2,\dots,n$

Si chaque fonction f_i est continue et continument différentiable, alors, par développement en série de TYLOR dans le voisinage d'un estimé $X^{(k)}$ proche de $X^{(0)}$ (obtenu à la k-ième itération), on obtient:

$$f_i(X^*) = f_i(X^{(k)} + (X^* - X^{(k)})) = f_i(X^{(k)}) + \sum_{j=1}^n \frac{\partial f_i(X)}{\partial X_j} \Big|_{X=X^{(k)}} (X_j^* - X_j^{(k)}) + \frac{1}{2!} \sum_{j=1}^n \sum_{r=1}^n (X_j^* - X_j^{(k)}) (X_r^* - X_r^{(k)}) \frac{\partial^2 f_i(X)}{\partial X_j \partial X_r} \Big|_{X=X^{(k)}} + \dots = 0$$

pour $i = 1, 2, 3, \dots, n$

Si $X^{(k)}$ est un estimé proche de $X^{(0)}$, les éléments $(X_i^{(0)} - X_i^{(k)})$ sont négligeable, ainsi que les termes de degré supérieur.

le système (2.49) s'écrit donc:

$$\sum_{j=1}^n \frac{\partial f_i(X)}{\partial X_j} \Big|_{X=X^{(k)}} (X_j^* - X_j^{(k)}) = -f_i(X^{(k)}) \quad i=1, n \quad (2.50)$$

Définissons la matrice $J^{(k)}$ des dérivées premières telles que:

$$J_{ij}^{(k)} = \frac{\partial f_i(X)}{\partial X_j} \Big|_{X=X^{(k)}} \quad i=1, n \quad j=1, n \quad (2.51)$$

Le vecteur d'erreur $\Delta X^{(k)}$ peut s'écrit :

$$\Delta X_j^{(k)} = X_j^* - X_j^{(k)} \quad (2.52)$$

Puis le vecteur $F^{(k)}$ par :

$$F_i^{(k)} = -f_i(X^{(k)}) \quad (2.53)$$

Alors la relation matricielle (2.50) s'écrit :

$$J^{(k)} \cdot \Delta X^{(k)} = F^{(k)} \quad (2.54)$$

Dans l'équation (2.54), toutes les quantités sont connues hormis les $\Delta X^{(k)}$.

L'équation (2.54) est un système linéaire, les méthodes de résolution des systèmes linéaires étudiées précédemment sont applicables pour déterminer les ΔX .

$\Delta X^{(k)}$ est un estimé de l'erreur commise en approximant X^* par $X^{(k)}$. On peut donc obtenir un meilleur estimé $X^{(k+1)}$ de X^* par :

$$X^{(k+1)} = X^{(k)} + \Delta X^{(k)} \quad (2.55)$$

On continue jusqu'à ce que :

$$|X^* - X^{(k)}| \rightarrow 0 \quad (2.56)$$

b) critères d'arrêts des iterations:

En pratique, X^* étant l'inconnue, on arrête les opérations par l'un des tests suivants:

1. $|X_i^{(k+1)} - X_i^{(k)}| < \epsilon_1$
2. $\frac{|X_i^{(k+1)} - X_i^{(k)}|}{|X_i^{(k+1)}|} < \epsilon_2$
3. $|f_i(X^{(k+1)})| < \epsilon_3$
4. $k > k_{\max}$

où $\epsilon_1, \epsilon_2, \epsilon_3$ sont des bornes supérieures de l'erreur fixées a priori et k_{\max} est le nombre maximum admissible d'itérations.

Le premier test suppose que la méthode converge puisqu'il teste l'écart entre deux estimés successifs (un écart faible ne signifie pas obligatoirement la proximité de la racine X^*).

Le second test a l'avantage sur le précédent de normaliser toutes les composantes de X . Toutefois, $X_i^{(k+1)}$ doit être différent de zéro. Le troisième test suppose que l'on a un ordre de grandeur de la valeur des fonctions f_i (pour affirmer que si f_i est inférieur à ϵ_3 c'est qu'il est pratiquement nul).

c) Algorithme de NR pour la résolution de systèmes nonlinéaires $f(x)=0$:

(2.55)

Etant donnés $X^{(0)}, \epsilon_1, \epsilon_2, k_{\max}$

1. calculer $J_{ij}^{(k)} = \frac{\partial f_i(X)}{\partial X_j} \Big|_{X=X^{(k)}} \quad j=1, n$
 $F_i^{(k)} = -f_i(X^{(k)})$
 pour $i=1, n$

2. Résoudre le système linéaire:

$$\sum_{j=1}^n J_{ij}^{(k)} \Delta X_j^{(k)} = F_i^{(k)} \quad i=1, n$$

3. calculer $X_i^{(k+1)} = X_i^{(k)} + \Delta X_i^{(k)} \quad i=1, n$
 tel que $\|f(X^{(k+1)})\| < \|f(X^{(k)})\|$

4. Si l'un des tests:

$$\begin{aligned} |X_i^{(k+1)} - X_i^{(k)}| &< \epsilon_1 \\ \frac{|X_i^{(k+1)} - X_i^{(k)}|}{|X_i^{(k+1)}|} &< \epsilon_2 \\ k &> k_{\max} \end{aligned}$$

est vérifiée, arrêter

d) Convergence de la méthode de NR:

Dans le cas monodimensionnel nous avons vu que la méthode de NR convergeait généralement bien, si l'on possédait un bon estimé initial de la racine cherchée.

Dans le cas multidimensionnel, très souvent, si l'estimé initial n'est pas très proche de la racine, la méthode ne converge pas.

En fait le domaine de convergence de la méthode NEWTON est très réduit. Notons que si la méthode converge, on montre que le taux de convergence (pour une racine simple) est égal à 2 "quadratique".

Donc s'il y a convergence, elle est rapide (k_{\max} doit être choisi petit).

II.5 CONCLUSIONS:

Le temps de calcul croît en général avec le nombre d'opérations. La meilleure méthode au sens du temps de calcul est celle qui demande le moins d'opérations, donc la moins complexe.

Les méthodes itératives sont généralement préférées pour les grands systèmes linéaires $Ax = b$, surtout pour la matrice A creuse.

La méthode de GS est préférée à celle de JACOBI, parce qu'elle consomme moins de

mémoire et converge souvent plus vite. La méthode de relaxation est généralement beaucoup plus rapide que celle de GS, même si le facteur optimal α est déterminé expérimentalement.

La méthode de NR converge bien (et quadratiquement pour une racine simple) si l'on possède un bon estimé initial de la solution.

CHAPITRE

III

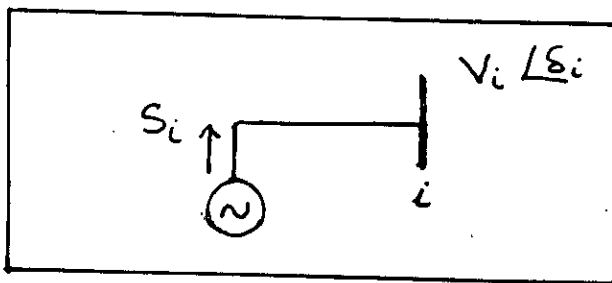
III.1 INTRODUCTION:

Un réseau d'énergie électrique comprend des génératrices, des lignes de transport, de distribution et d'un ensemble de consommateurs qui constituent les charges du réseau. En outre, le réseau comporte également de transformateur et des appareils de protection.

Vu la complexité d'un réseau d'énergie électrique, il faut simplifier leur représentation, ce qui faut à établir des modèles ou schéma équivalents des principaux composants à savoir. Les générateurs, les différents types de transformateurs, les lignes et les charges. Qu'on les utilisera dans notre modèle pour le calcul d'écoulement de puissance.

III.2 MODELISATION DES GENERATEURS:

Dans le calcul d'écoulement de puissance, un générateur est représenté par une source de tension constante comme la fig(3.1) le montre :



fig(3.1)

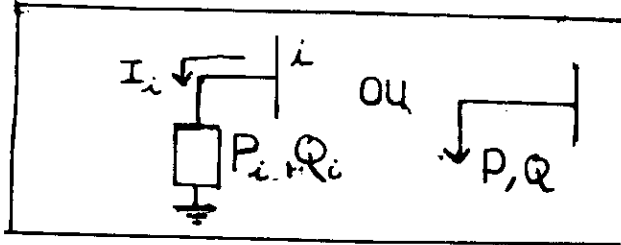
$S_i = P_i + jQ_i$, est la puissance apparente débitée par le générateur.

$V_i = |V_i| e^{j\delta_i}$, tension simple entre phase et neutre du générateur.

Ces générateurs sont, bien sûr, supposés être équipés de régulateurs assez rapides pour assurer la constance de la tension à ces bornes.

III.3 MODELISATION D'UN CHARGE:

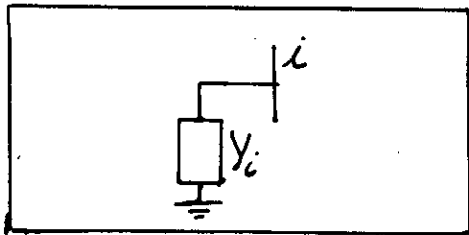
Une charge peut être modélisée par une impédance qui consomme une quantité constante de puissance active et réactive



fig(3.2)

III.4 MODELISATION D'UNE COMPENSATION SHUNT:

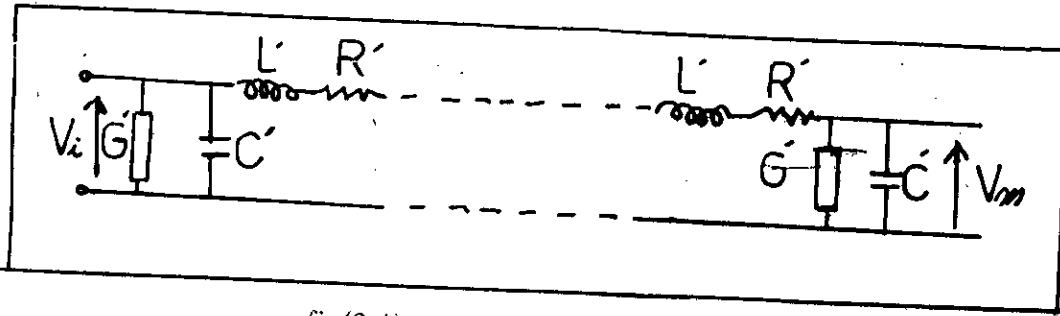
Une compensation (admittance) shunt qui est une capacité ou un banc de capacité, qui peut être fixe ou variable .



fig(3.3)

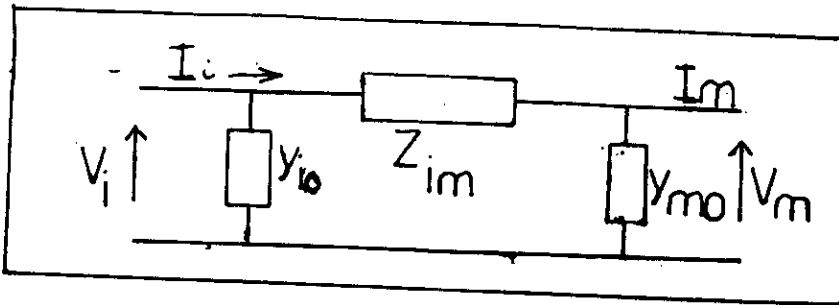
III.5 MODELISATION D'UNE LIGNE:

Une ligne peut être considérée comme une série de circuits à constantes réparties uniformément sur toute sa longueur. Ces circuits sont composés d'une infinité d'éléments identiques constitués d'une inductance linéique et d'une résistance linéique dans le sens longitudinal qui donnent naissance à des chutes de tension, d'une conductance linéique et d'une capacité linéique dans le sens transversal ce qui nous donne le schéma suivant représenté sur la fig(3.4)



fig(3.4)

Un schéma équivalent en π d'une ligne est possible.



fig(3.5)

$$V_m = V_i - Z_{im}(I_i - Y_{io}V_i) = V_i(1 + Z_{im}Y_{io}) - Z_{im}I_i \quad (3.1)$$

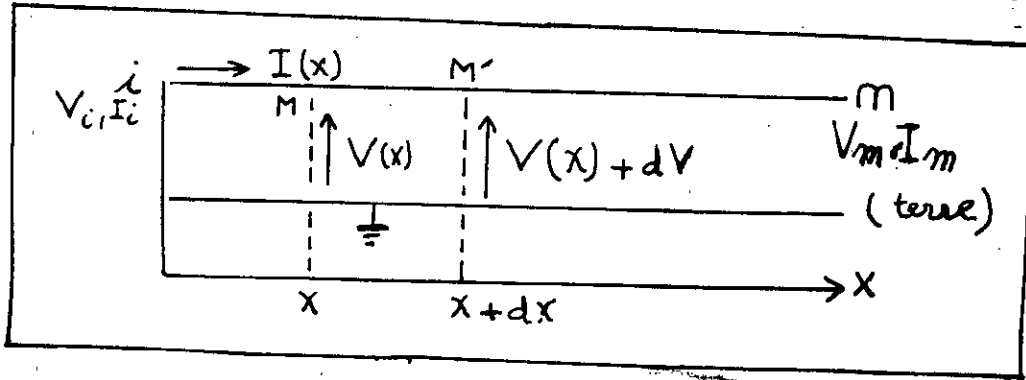
$$I_m = I_i - Y_{io}V_i - Y_{mo}V_m = V_i - Y_{io}V_i - Y_{mo}[V_i(1 + Z_{im}Y_{io}) - Z_{im}I_i] \quad (3.2)$$

$$I_m = -V_i(Y_{io} + Y_{mo} + Z_{im}Y_{io}Y_{mo}) + I_i(1 + Z_{im}Y_{mo})$$

Les équations (3.1) et (3.2) nous donnent le système suivant:

$$\begin{aligned} V_m &= V_i(1 + Z_{im}Y_{io}) - Z_{im}I_i \\ I_m &= -V_i(Y_{io} + Y_{mo} + Z_{im}Y_{io}Y_{mo}) + I_i(1 + Z_{im}Y_{mo}) \end{aligned} \quad (3.3)$$

Considérons une ligne de longueur L et de paramètres linéaires R', L', C' et G' représentés par le diagramme suivant:



fig(3.6)

Soit $Z' = R' + jL'\omega$
 $Y' = G' + jC'\omega$

On a: $V_{M'} - V_M = -Z' I(x) dx \Rightarrow dV(x) = -Z' I(x) dx$
 $I_{M'} - I_M = -Y' V(x) dx \Rightarrow dI(x) = -Y' V(x) dx$

ou encore:

$$\frac{dV(x)}{dx} = -Z' I(x) \tag{3.5}$$

$$\frac{dI(x)}{dx} = -Y' V(x)$$

En dérivant les équations (3.5) on obtient:

$$\frac{d^2V(x)}{dx^2} = -Z' \frac{dI(x)}{dx} \tag{3.6}$$

$$\frac{d^2I(x)}{dx^2} = -Y' \frac{dV(x)}{dx}$$

En combinant (3.5) et (3.6) on obtient:

$$\frac{d^2V(x)}{dx^2} = -Z' Y' V(x) = 0 \tag{3.7}$$

$$\frac{d^2I(x)}{dx^2} = -Z' Y' I(x) = 0$$

Le système (3.7) sont des équations différentielles du second ordre dont la solution final est:

$$\begin{aligned} V(x) &= V_i \cosh(\gamma x) - I_i Z_c \sinh(\gamma x) \\ I(x) &= \frac{-V_i}{Z_c} \sinh(\gamma x) + I_i \cosh(\gamma x) \end{aligned} \quad (3.8)$$

Avec les conditions initiales:

$$\begin{cases} V(x=0) = V_i \\ I(x=0) = I_i \end{cases}$$

Où:

$$\begin{aligned} Z_c &= \sqrt{\frac{Z'}{Y'}} && (\text{impédance caractéristique de la ligne}) \\ \gamma &= \sqrt{Z' Y'} && (\text{exposant lineique de propagation}) \end{aligned}$$

(3.8) nous donnent le courant et la tension de la ligne en fonction de la longueur x.

Pour X=L on a:

$$\begin{aligned} V(x=L) &= V_m = V_i \cosh \gamma L - I_i Z_c \sinh \gamma L \\ I(x=L) &= I_m = -\left(\frac{V_i}{Z_c}\right) \sinh \gamma L + I_i \cosh \gamma L \end{aligned} \quad (3.9)$$

Les équations (3.8) et (3.3) nous donnent:

$$\begin{aligned} \frac{\cosh \gamma L - 1 + Z_{im} Y_{io} - 1 + Z_{im} Y_{mo}}{Z_c \sinh \gamma L} - Y_{io} + Y_{mo} + Z_{im} Y_{io} Y_{mo} \\ Z_{im} = Z_c \sinh \gamma L \end{aligned} \quad (3.10)$$

D'où on tire:

$$\begin{aligned} Z_{im} &= Z_c \sinh \gamma L \\ Y_{io} - Y_{mo} &= \frac{1}{Z_c} \tanh \frac{\gamma L}{2} \end{aligned} \quad (3.11)$$

Et finalement, on a les expressions de l'impédance série Z_{im} , et de l'admittance transversale ($Y_{io} = Y_{mo}$) de la ligne du schéma équivalent en π représenté sur la fig(3.5).

Selon la longueur et la tension de la ligne, des approximations peuvent être faites et les expressions de Z_{im} et de ($Y_{io} = Y_{mo}$) deviennent simples. Par exemple pour les lignes de faibles longueur on a:

$$\sinh(\gamma L) = \gamma L$$

$$\left\{ \begin{aligned} \tanh(\gamma L/2) &= (\gamma L)/2 \end{aligned} \right.$$

Et les équations (3.11) deviennent:

$$\begin{aligned} Z_{im} &= (R' + jL' \omega) L - R + jL \omega - R + jX \\ Y_{io} = Y_{mo} &= \left(\frac{G' + jC' \omega}{2} \right) L = B + jG \end{aligned}$$

Ces types de lignes sont dites courtes. Pour les lignes moyennes et longues, Z_{im} et $Y_{io} = Y_{mo}$ sont données par (3.11).

III.6 MODELISATION DES TRANSFORMATEURS:

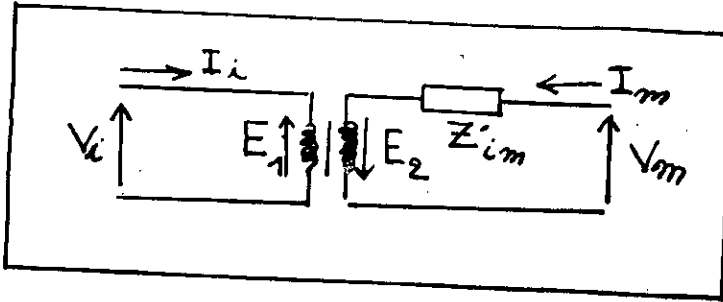
Dans un réseau d'énergie électrique les transformateurs rencontrés sont:

- les transformateurs fonctionnant en régime nominal, c-a-d avec un rapport de transformation nominal.
- les transformateurs à pas variable, le rapport de transformation est réglable.
- les transformateurs déphaseurs dont le rapport de transformation peut être représenté par un nombre complexe.

III.6.1 TRANSFORMATEURS A PAS FIXES:

La figure (3.7) représente le schéma équivalent d'un transformateur par phase

ramené au secondaire :



fig(3.7)

V_i, I_i : tension et courant au noeud i qui represente le primaire du transformateur.

V_m, I_m : tension et courant au noeud m qui represente le secondaire du transformateur.

E_1, E_2 : f.e.m induites au primaire et au secondaire du transformateur.

Z'_{im} : l'impedance du transformateur ramenée au secondaire.

$$Z'_{im} = Z_2 + 1/a^2 Z_1$$

avec $Z_1 = R_1 + jX_1$: impedance de fuite de l'enroulement primaire.

$Z_2 = R_2 + jX_2$: impedance de fuite de l'enroulement secondaire.

Généralement les pertes fer (à vide) sont négligeables devant la puissance qui s'écoule dans le transformateur.

Les tension V_i et V_m sont données par :

$$\begin{aligned} V_i &= E_1 \\ V_m &= -E_2 + Z'_{im} I_m \end{aligned} \tag{3.12}$$

On définit le rapport de transformation du transformateur par:

$$a = \frac{-E_1}{E_2} = \frac{-I_m}{I_i} \quad (3.13)$$

Eliminant E_1 des équations (3.12) on obtient:

$$\begin{aligned} V_i &= -aE_2 \\ V_m &= -E_2 + Z'_{im}I_m \end{aligned} \quad (3.14)$$

Eliminant E_2 des équations (3.14) on obtient:

$$V_m = \frac{V_i}{a} + Z_{im}I_m$$

D'où:

$$I_m = \frac{1}{Z'_m} \left(\frac{-V_i}{a} + V_m \right) = \frac{-Y'_{im}}{a} V_i + Y_{im} V_m \quad (3.15)$$

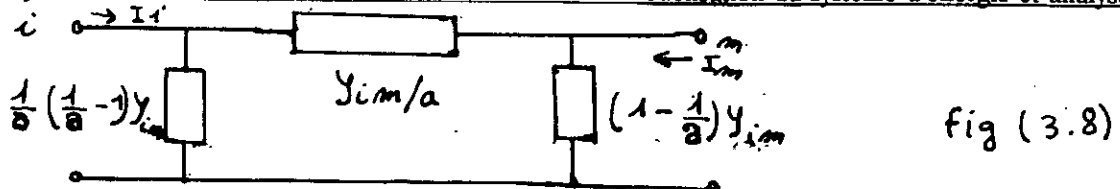
De l'équation (3.13) on tire le courant I_i :

$$I_i = \frac{-I_m}{a} = \frac{Y'_{im}}{a^2} V_i - \frac{Y_{im}}{a} V_m \quad (3.16)$$

Les équations (3.15) et (3.16) peuvent s'écrire sous la forme suivant:

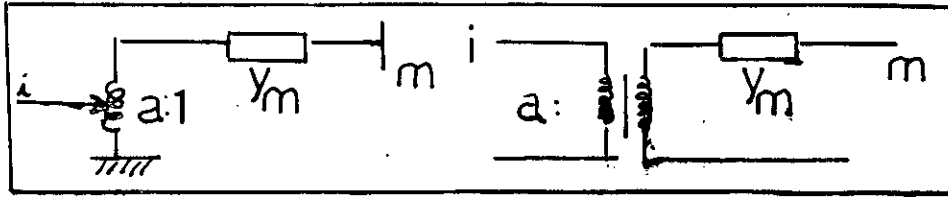
$$\begin{bmatrix} I_i \\ I_m \end{bmatrix} = \begin{bmatrix} Y'_{im}/a & -Y_{im}/a \\ -Y_{im}/a & Y_{im} \end{bmatrix} \begin{bmatrix} V_i \\ V_m \end{bmatrix} \quad (3.17)$$

La matrice admittance du système (3.17) est symétrique donc un schéma équivalent en π pour le transformateur est possible, qui est représenté par la figure (3.8).



III.6.2 TRANSFORMATEUR A PRISE VARIABLE:

Un transformateur à prise variable est un transformateur dont le rapport de transformation est réglable. On le représente par les schémas suivants:



fig(3.9)

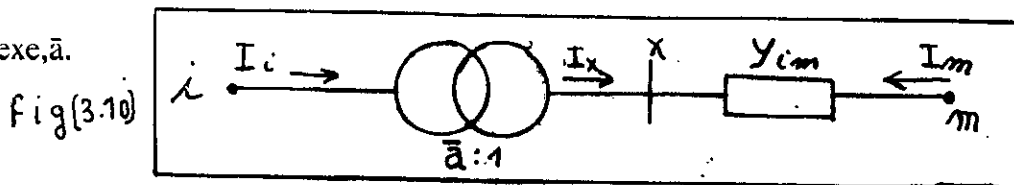
Ce type de transformateurs sont très répandus actuellement, surtout dans les réseaux de transport car, ils permettent le réglage de la tension en charge permettant la compensation des chutes de tension sans aucune interruption de service.

Le réglage se fait automatiquement ou manuellement.

les équations du système (3.17) sont valables; son schéma équivalent en π est le me que celui représenté par la fig(3.8).

III.6.3 TRANSFORMATEUR DEPHASEUR:

Le transformateur déphaseur fait varier l'angle de phase entre deux tensions de neuds differents. Il est représenté par une admittance en série avec un autotransformateur idéal dont le rapport de transformation peut être un nombre complexe, \bar{a} .



fig(3.10)

On a: $S_i = S_x$ cas d'un transformateur idéal (pas de pertes)

$$S_i = V_i I_i^* = S_x = V_x I_x^* \Rightarrow I_i = \frac{V_x^*}{V_i} I_x \quad (3.18)$$

$$I_x = -I_m \Rightarrow I_i = \frac{-V_x^*}{V_i} I_m \quad (3.19)$$

Le rapport de transformation est défini par :

$$\bar{a} = \frac{V_i}{V_x} \quad (3.20)$$

Le courant I_i est:

$$I_i = \frac{-1}{\bar{a}^*} \left(\frac{-V_i}{\bar{a}} - V_m \right) Y_{im} = \frac{Y_{im}}{|\bar{a}|^2} V_i - \frac{Y_{im}}{\bar{a}^*} V_m \quad (3.21)$$

et:

$$I_m = (V_m - V_x) Y_{im} = \left(V_m - \frac{V_i}{\bar{a}} \right) Y_{im} = -\frac{Y_{im}}{\bar{a}} V_i + Y_{im} V_m \quad (3.22)$$

Les équations (3.21) et (3.22) peuvent s'écrire sous forme matricielle par:

$$\begin{bmatrix} I_i \\ I_m \end{bmatrix} = \begin{bmatrix} Y_{im}/|\bar{a}|^2 & -Y_{im}/\bar{a}^* \\ -Y_{im}/\bar{a} & Y_{im} \end{bmatrix} \begin{bmatrix} V_i \\ V_m \end{bmatrix} \quad (3.23)$$

La matrice admittance $[Y]$ de ce type de transformateur n'est pas symétrique, donc, un circuit équivalent en π n'est pas possible.

III.7 DEVELOPPEMENT DES EQUATIONS D'ECOULEMENT DE PUISSANCE:

III.7.1 FORMULATION DU PROBLEME DE C.E.P:

Le problème de C.E.P consiste à calculer le module et l'argument de la tension dans chaque noeud de réseau et la puissance active et réactive.

Chaque noeud de réseau électrique possède quatre variables associées sont:

- la puissance active et réactive.
- le module et l'argument de tension.

En général, dans le C.E.P, les noeuds sont classés en 3 catégories.

1. un noeud de référence (slack bus) c'est un noeud générateur où $|V|$ et δ sont spécifiés.
2. des noeuds générateurs PV où $|V|$ et P sont spécifiés.
3. des noeuds de charges PQ où P et Q sont spécifiés.

La figure(3.11) représente la table de classification des noeuds.

type des noeuds	référence $V\delta$	générateur PV	charge PQ
quantité connus	$ V = 1.0, \delta = 0$	P, $ V $	P, Q
quantité inconnus	P, Q	Q, δ	$ V , \delta$

III.7.2 LES EQUATIONS D'ECOULEMENT DE PUISSANCE D'UN RESEAU A DEUX NOEUDS:

$$I_1 = I_{10} + I_{12}$$

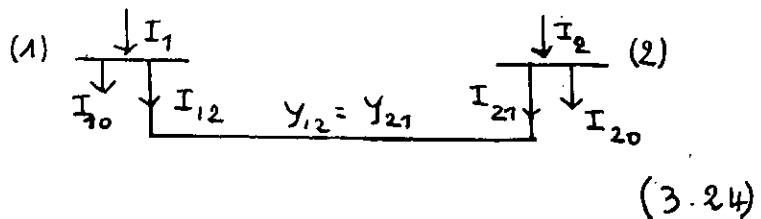
$$= V_1 y_{10} + (V_1 - V_2) y_{12}$$

$$I_1 = (y_{10} + y_{12}) V_1 - y_{12} V_2$$

idem:

$$I_2 = -y_{21} V_1 + (y_{20} + y_{21}) V_2$$

On déduit:



$$Y_{11} = y_{10} + y_{12}$$

$$Y_{12} = Y_{21} = -y_{12}$$

$$Y_{22} = y_{20} + y_{21}$$

$$Y_{ii} = \sum_{j=0}^n Y_{ij} \quad (3.25)$$

En général pour un réseau à n noeuds :

$$Y_{ij} = -Y_{ji} \quad (3.26)$$

L'expression matricielle (3.24) s'écrit sous forme compacte pour un réseau à n noeuds:

$$I_i = \sum_{j=1}^n Y_{ij} V_j = Y_{ii} V_i + \sum_{j=1, j \neq i}^n Y_{ij} V_j \quad i=1, n \quad (3.27)$$

De l'expression (3.27) on tire:

$$V_i = \frac{I_i}{Y_{ii}} - \frac{1}{Y_{ii}} \sum_{j=1, j \neq i}^n Y_{ij} V_j \quad (3.28)$$

On sait par ailleurs que la puissance apparente S est:

$$S_i = V_i I_i^* = P_i + jQ_i \quad (3.29)$$

D'où:

$$I_i = \frac{P_i + jQ_i}{V_i^*} \quad (3.30)$$

En remplace (3.30) dans (3.28) on tire:

$$V_i = \frac{1}{Y_{ii}} \left(\frac{P_i - jQ_i}{V_i^*} - \sum_{j=1, j \neq i}^n Y_{ij} V_j \right) \quad i=1, \dots, n \quad (3.31)$$

Pour la puissance active et réactive:

$$P_i = \Re (V_i^* \sum_{j=1}^n Y_{ij} V_j) \quad (3.32)$$

$$Q_i = -\Im (V_i^* \sum_{j=1}^n Y_{ij} V_j) \quad (3.33)$$

III.7.3 CALCUL DES PUISSANCE TRANSITEES DANS LES LIGNES:

Une fois les tensions de noeuds sont calculées, les puissance transitées dans les différentes lignes du réseau peuvent être calculées. Voir fig (3.12)

$$I_{serie} = (V_i - V_j) y_{ij} \quad (3.34)$$

$$I_{shunt} = V_i \frac{y_{ij}^*}{2} \quad (3.35)$$

donc:

$$I_{ij} = (V_i - V_j) y_{ij} + V_i \frac{y_{ij}^*}{2} \quad (3.36)$$

où y_{ij} = admittance de ligne ij.

y_{ij}^* = admittance shunt total de la ligne.

La puissance apparente transite de i vers j s'exprime par:

$$S_{ij} = P_{ij} + jQ_{ij} = V_i I_{ij}^* \quad (3.37)$$

CHAPITRE

IV

IV.1 INTRODUCTION:

Les équations (3.31),(3.32),(3.33) représentent un ensemble d'équations algébriques nonlinéaire pour lesquelles il n'existe aucune solution générale.

On doit, donc, les résoudre par des méthodes numériques adoptées à ce genre de problèmes. Deux méthodes sont, actuellement, très utilisées en pratique pour la résolution du problème du C.E.P.

1-Méthode de GS utilisant la matrice admittance nodale.

2-Méthode de NR utilisant la matrice admittance nodale.

IV.2 LA METHODE DE GAUSS-SEIDEL ON UTILISANT Ynodale:

Soit un réseau de n noeuds on a:

$$I_{noeud} = YV \tag{4.1}$$

ou:

$$\begin{aligned} I_1 &= Y_{11} V_1 + Y_{12} V_2 + \dots + Y_{1n} V_n \\ I_2 &= Y_{21} V_1 + Y_{22} V_2 + \dots + Y_{2n} V_n \\ &\dots \\ I_n &= Y_{n1} V_1 + Y_{n2} V_2 + \dots + Y_{nn} V_n \end{aligned} \tag{4.2}$$

ou sous forme matriciel:

$$\begin{bmatrix} I_1 \\ I_2 \\ \cdot \\ \cdot \\ I_n \end{bmatrix} = \begin{bmatrix} Y_{11} & Y_{12} & \cdot & \cdot & Y_{1n} \\ Y_{21} & Y_{22} & \cdot & \cdot & Y_{2n} \\ \cdot & \cdot & \cdot & \cdot & \cdot \\ \cdot & \cdot & \cdot & \cdot & \cdot \\ Y_{n1} & Y_{n2} & \cdot & \cdot & Y_{nn} \end{bmatrix} \begin{bmatrix} V_1 \\ V_2 \\ \cdot \\ \cdot \\ V_n \end{bmatrix} \quad (4.3)$$

Donc, les tensions à la (k+1)-ième itérations s'exprime à partir du système ci-dessus quand $V_i^{(k)}$ et $I_i^{(k)}$ sont trouvés à la k-ième itérations par:

$$\begin{aligned} V_1^{(k+1)} &= \frac{1}{Y_{11}} (I_1^{(k)} - Y_{12} V_2 - Y_{13} V_3^{(k)} - \dots - Y_{1n} V_n^{(k)}) \\ V_2^{(k+1)} &= \frac{1}{Y_{22}} (I_2^{(k)} - Y_{21} V_1^{(k+1)} - Y_{23} V_3^{(k)} - \dots - Y_{2n} V_n^{(k)}) \\ \dots & \\ V_n^{(k+1)} &= \frac{1}{Y_{nn}} (I_n^{(k)} - Y_{n1} V_1^{(k+1)} - Y_{n2} V_2^{(k+1)} - \dots - Y_{nn-1} V_{n-1}^{(k+1)}) \end{aligned} \quad (4.4)$$

touts les courant dans le système (4.4) sont inconnu, ils sont donnés par:

$$I_i = \frac{P_i - jQ_i}{V_i^*}$$

D'où la formule générale pour déterminer la tension dans le i-ième noeud peut s'écrit par:

$$V_i^{(k+1)} = \frac{1}{Y_{ii}} \left(\frac{P_i - jQ_i}{V_i^{(k)*}} - \sum_{j=1}^{i-1} Y_{ij} V_j^{(k+1)} - \sum_{j=i+1}^n Y_{ij} V_j^{(k)} \right) \quad \text{pour } i=1, 2, \dots, n$$

telque i=1 noeud de référence

IV.2.1 ALGORITHME DE CALCUL:

1. Pour chaque noeud de charge où P et Q sont données on prend le module et

le déphasage de tension égaux à ceux de noeud de référence comme première estimation et pour le noeud de génération on prend le module de tension spécifié et le déphasage celui du noeud de référence .

2. Pour les noeuds de charge P et Q sont spécifiés on utilise directement la formule (4.5) pour déterminer les nouvelles tensions et pour les noeuds contrôlés Q est inconnue, donc,

On doit le déterminer:

D'où:

$$I_{con} = \frac{P_i - jQ_i}{V_i^{*(k)}} = Y_{i1}V_1^{(k+1)} + Y_{i2}V_2^{(k+1)} + \dots + Y_{ii}V_i^{(k)} + \dots + Y_{in}V_n^{(k)} \quad (4.6)$$

telque:

$$V_i^{(k)} = |V_{i, spec}| (\cos \delta_i^{(k)} + j \sin \delta_i^{(k)}) \quad (4.7)$$

Donc:

$$P_i - jQ_i = V_i^{*(k)} \left[\sum_{j=1}^{i-1} Y_{ij}V_j^{(k+1)} + \sum_{j=i}^n Y_{ij}V_j^{(k)} \right] \quad (4.8)$$

d'où:

$$Q_i = -\Im \left[V_i^{*(k)} \left(\sum_{j=1}^{i-1} Y_{ij}V_j^{(k+1)} + \sum_{j=i}^n Y_{ij}V_j^{(k)} \right) \right] \quad (4.9)$$

les meilleures valeurs de tensions sont utilisées dans le calcul de puissance réactive Q_i , une fois Q_i est trouvée, elle sera utilisée dans l'équation (4.5) pour trouver la nouvelle valeur de tension V_i dans le noeud contrôlé.

En générale les limites maximum et minimum peuvent être spécifiés si la puissance réactive dépasse Q_{max} ou Q_{min} , donc on doit faire le suivant:

$$\begin{aligned}
 & \text{si } Q_i \geq Q_{\max} \\
 & \text{on pose } Q_i = Q_{\max} \\
 & \text{et si } Q_i \leq Q_{\min} \\
 & \text{on pose } Q_i = Q_{\min}
 \end{aligned}
 \tag{4.10}$$

Si le module de la nouvelle valeur de tension dépasse la valeur spécifiée, la nouvelle valeur est corrigée par la multiplication par un raison spécifié .On corrige seulement le module de la tension.

3.une fois les tensions sont trouvées on doit satisfaire le critère d'arrêt suivant:

$$\max |V_i^{(k+1)} - V_i^{(k)}| < \epsilon \tag{4.11}$$

telque ϵ est la tolerance choisie ,si (4.11) est verifiée aller à l'étape 4, sinon aller à l'étape

2.

4.stop

-pour le noeud de référence on a:

$$\frac{P_1 - jQ_1}{V_1^*} = Y_{11}V_1 + Y_{12}V_2 + \dots + Y_{1n}V_n \tag{4.12}$$

Une fois toutes les tensions sont connues la puissance apparante est connu:

$$P_1 - jQ_1 = Y_{11}V_1V_1^* + Y_{12}V_2V_1^* + \dots + Y_{1n}V_nV_1^* \tag{4.13}$$

IV.2.2 UTILISATION DE FACTEUR D'ACCELERATION:

Parfois on utilise de facteurs d'accélération pour avoir une meilleure convergence; La correction du tension de $V_i^{(k)}$ à $V_i^{(k)}$ est multiplié par un facteur pour amener la nouvelle tension à la valeur finale.

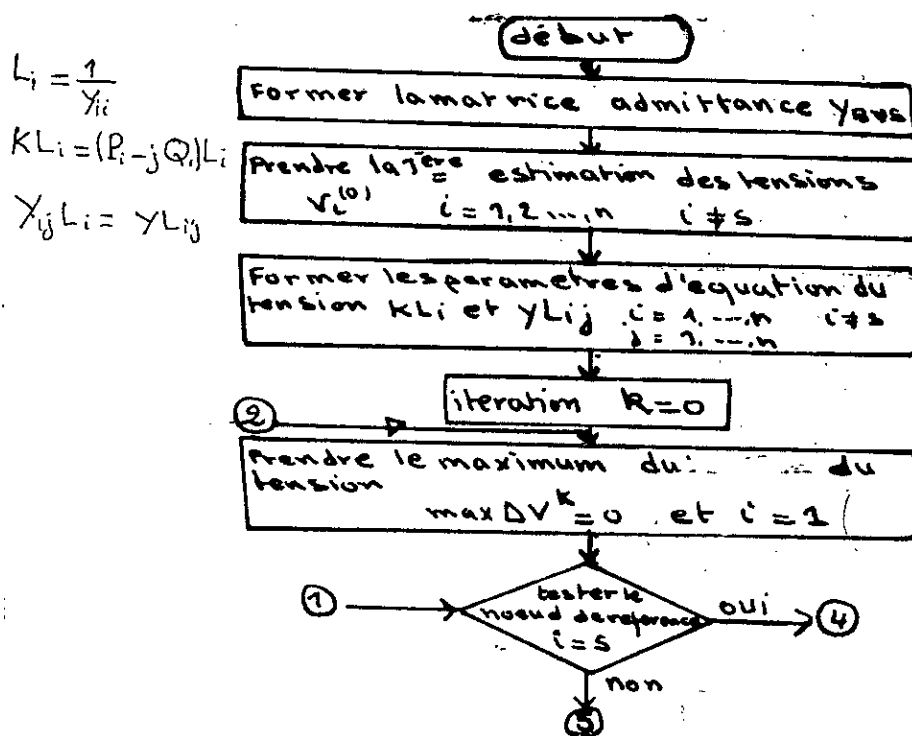
Donc la tension accéléré est donnée par l'expression suivante:

$$V_{i \text{ acc}}^{(k+1)} = V_i^{(k)} + \alpha (V_i^{(k+1)} - V_i^{(k)}) = V_i^{(k)} + \alpha \Delta V_i^{(k)} \quad (4.14)$$

Le choix de α ne garantie pas la rapidite du convergence ,par contre, il existe plusieurs études numériques pour determiner les valeurs des facteurs d'accélération optimale.

Exemple: la méthode GS Ynodale α est entre 1.4 et 1.8

IV.2.3 ORGANIGRAMME DE LA METHODE GAUSS-SEIDEL (GS):



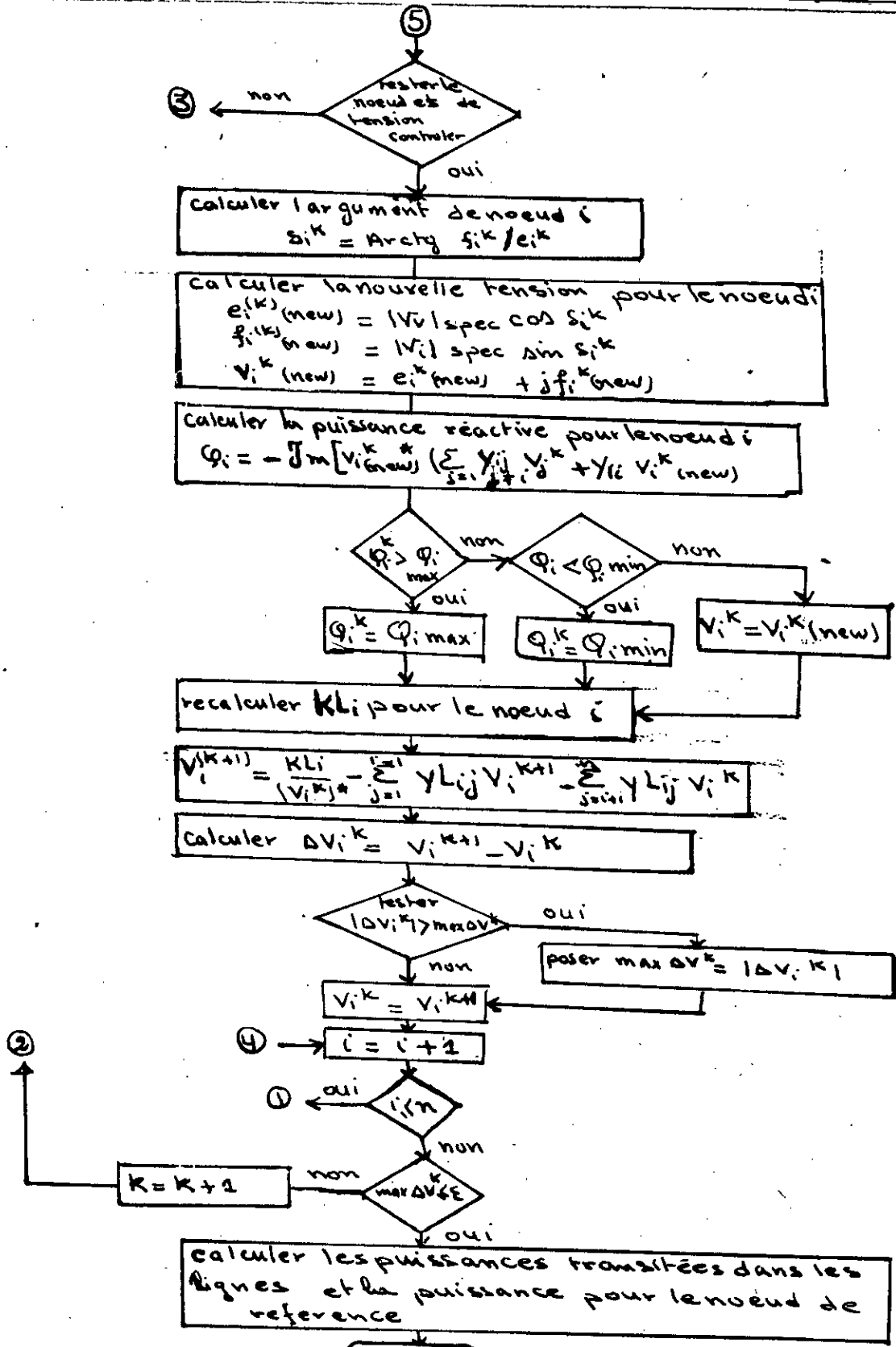


Fig II.1 la solution d'écoulement de puissance par le méthode itérative de GAUSS - SEIDEL on utilisant y nodale

IV.3 LA METHODE DE NEWTON RAPHSON (NR) UTILISANT LA MATRICE ADMITTANCE [Ynodale]:

IV.3.1 LA METHODE DE NR POUR LES NOEUDS DES CHARGES:

IV.3.1.1 APPLICATION DE LA METHODE NR AVEC LES COORDONNEES RECTANGULAIRES:

Le problème d'écoulement de puissance peut être résolu par la méthode de NR utilisant un système d'équation nonlinéaire exprimant les puissances active et réactive en termes de tension (Van Ness et Griffin, 1961).

La puissance au noeud i est:

$$P_i - jQ_i = V_i^* \sum_{j=1}^n Y_{ij} V_j \tag{4.15}$$

puisque $V_i = e_i + jf_i$ et $Y_{ij} = G_{ij} - jB_{ij}$

L'équation (4.15) dévient :

$$P_i - jQ_i = (e_i - jf_i) \sum_{j=1}^n (G_{ij} - jB_{ij}) (e_j + jf_j) \tag{4.16}$$

On séparant la partie réelle et imaginaire d'équation (4.16):

$$P_i = \sum_{j=1}^n [e_i(e_j G_{ij} + f_j B_{ij}) + f_i(f_j G_{ij} - e_j B_{ij})] \quad (4.17)$$

$$Q_i = \sum_{j=1}^n [f_i(e_j G_{ij} + f_j B_{ij}) - e_i(f_j G_{ij} - e_j B_{ij})] \quad (4.18)$$

Pour les noeuds des charges P_i et Q_i sont connues et les composantes réelles et imaginaires du tension e_i et f_i sont inconnues pour tout les noeuds sauf le noued du référence où la tension est spécifiée et reste fixe , ainsi il y a $2(n-1)$ équations à résoudre pour la solution d'écoulement de puissance .

La méthode de NR exige un groupe des équations linéaires formant une connexion entre la variation des puissances actives et réactives et les composants de la tension sont les suivants:

$$\begin{bmatrix} \Delta P_2 \\ \vdots \\ \Delta P_n \\ \dots \\ \Delta Q_2 \\ \vdots \\ \Delta Q_n \end{bmatrix} = \begin{bmatrix} \frac{\partial P_2}{\partial e_2} & \dots & \frac{\partial P_2}{\partial e_n} & | & \frac{\partial P_2}{\partial f_2} & \dots & \frac{\partial P_2}{\partial f_n} \\ \vdots & \dots & \vdots & | & \vdots & \dots & \vdots \\ \frac{\partial P_n}{\partial e_2} & \dots & \frac{\partial P_n}{\partial e_n} & | & \frac{\partial P_n}{\partial f_2} & \dots & \frac{\partial P_n}{\partial f_n} \\ \dots & \dots & \dots & | & \dots & \dots & \dots \\ \frac{\partial Q_2}{\partial e_2} & \dots & \frac{\partial Q_2}{\partial e_n} & | & \frac{\partial Q_2}{\partial f_2} & \dots & \frac{\partial Q_2}{\partial f_n} \\ \vdots & \dots & \vdots & | & \vdots & \dots & \vdots \\ \frac{\partial Q_n}{\partial e_2} & \dots & \frac{\partial Q_n}{\partial e_n} & | & \frac{\partial Q_n}{\partial f_2} & \dots & \frac{\partial Q_n}{\partial f_n} \end{bmatrix} \begin{bmatrix} \Delta e_2 \\ \vdots \\ \Delta e_n \\ \dots \\ \Delta f_2 \\ \vdots \\ \Delta f_n \end{bmatrix} \quad (4.19)$$

où les coefficients de la matrice sont les éléments de Jacobien et 1-ère noeud ce le référence ;Le système (4.19) peut représente par:

$$\begin{bmatrix} \Delta P \\ \dots \\ \Delta Q \end{bmatrix} = \begin{bmatrix} J_1 & | & J_2 \\ \dots & & \dots \\ J_3 & | & J_4 \end{bmatrix} \begin{bmatrix} \Delta e \\ \dots \\ \Delta f \end{bmatrix} \quad (4.20)$$

Les éléments de la matrice jacobienne sont dérivés des équations des puissance nodale.La puissance active de l'équation (4.17) peut s'écrit:

$$P_i = e_i(e_i G_{ii} + f_i B_{ii}) + f_i(f_i G_{ii} - e_i B_{ii}) + \sum_{j=1, j \neq i}^n [e_i(e_j G_{ij} + f_j B_{ij}) + f_i(f_j G_{ij} - e_j B_{ij})] \quad (4.21)$$

pour $i=2, \dots, n$

Calcul de sous matrices jacobien:

$$\text{pour } J_1: \quad \frac{\partial P_i}{\partial e_j} = e_i G_{ij} - f_j B_{ij} \quad i \neq j \quad (4.22)$$

$$\frac{\partial P_i}{\partial e_i} = 2e_i G_{ii} + f_i B_{ii} - f_i B_{ii} + \sum_{j=1, j \neq i}^n (e_j G_{ij} + f_j B_{ij}) \quad (4.23)$$

cependant, l'équation du courant au noeud i est:

$$I_i = \sum_{j=1}^n Y_{ij} V_j - c_i + j d_i \quad (3.24)$$

$$I_i = \sum_{j=1}^n (G_{ij} - j B_{ij}) (e_j + j f_j) \quad (4.25)$$

$$I_i = \sum_{j=1}^n (e_j G_{ij} + f_j B_{ij}) + j \sum_{j=1}^n (f_j G_{ij} - e_j B_{ij}) \quad (4.26)$$

Donc:

$$\begin{aligned} c_i &= e_i G_{ii} + f_i B_{ii} + \sum_{j=1, j \neq i}^n (e_j G_{ij} + f_j B_{ij}) \\ d_i &= f_i G_{ii} - e_i B_{ii} + \sum_{j=1, j \neq i}^n (f_j G_{ij} - e_j B_{ij}) \end{aligned} \quad (4.27)$$

Donc, J_1 peut simplifié par la substitution de composante réelle du courant c_i dans l'équation (4.23) on obtient :

$$\frac{\partial P_i}{\partial e_i} = e_i G_{ii} - f_i B_{ii} + c_i \quad \text{pour } i=j \quad (4.28)$$

$$\text{pour } J_2: \quad \frac{\partial P_i}{\partial e_j} = e_i B_{ij} + f_i G_{ij} \quad i \neq j \quad (4.29)$$

$$\frac{\partial P_i}{\partial e_i} = e_i B_{ii} + f_i G_{ii} + d_i \quad i=j \quad (4.30)$$

la puissance réactive de l'équation (4.18) dévient:

$$\begin{aligned} Q_i &= f_i (e_i G_{ii} + f_i B_{ii}) - e_i (f_i G_{ii} - e_i B_{ii}) \\ &+ \sum_{j=1, j \neq i}^n [f_i (e_j G_{ij} + f_j B_{ij}) - e_i (f_j G_{ij} - e_j B_{ij})] \end{aligned} \quad (4.31)$$

pour $i=1,2,3,\dots,n$

Donc les élément de sous matrice J_3 sont :

$$\frac{\partial Q_i}{\partial e_j} = e_i B_{ij} + f_i G_{ij} \quad i \neq j \quad (4.32)$$

$$\frac{\partial Q_i}{\partial e_i} = e_i B_{ij} + f_i G_{ij} - d_i \quad i=j \quad (4.33)$$

Pour les élément de sous matrice J_4 sont:

$$\frac{\partial Q_i}{\partial f_j} = -(e_i G_{ij} - f_i B_{ij}) \quad i \neq j \quad (4.34)$$

$$\frac{\partial Q_i}{\partial f_i} = -e_i G_{ij} + f_i B_{ij} + c_i \quad i=j \quad (4.35)$$

IV.3.1.2 APPLICATION DE LA METHODE NR EN COORDONNES POLAIRES:

$$V_i = |V_i| \angle \delta_i \quad \text{et} \quad Y_{ij} = |Y_{ij}| \angle -\theta_{ij}$$

On les substitués dans l'équation (4.15), la puissance dans le noeud i dévient:

$$P_i - jQ_i = \sum_{j=1}^n |V_i V_j Y_{ij}| e^{-j(\theta_{ij} + \delta_i - \delta_j)}$$

puisque: $e^{-j(\theta_{ij} + \delta_i - \delta_j)} = \cos(\theta_{ij} + \delta_i - \delta_j) - j \sin(\theta_{ij} + \delta_i - \delta_j)$

Donc:

$$P_i = \sum_{j=1}^n |V_i V_j Y_{ij}| \cos(\theta_{ij} + \delta_i - \delta_j) \quad (4.36)$$

$$Q_i = \sum_{j=1}^n |V_i V_j Y_{ij}| \sin(\theta_{ij} + \delta_i - \delta_j) \quad (4.37)$$

$$i = 1, 2, \dots, n$$

Les éléments de jacobien sont calculés à partir des équations (4.36) et (4.37).

$$\text{pour } J_1: \quad \frac{\partial P_i}{\partial \delta_j} = |V_i| |Y_{ij}| |V_j| \sin(\theta_{ij} + \delta_i - \delta_j) \quad i \neq j \quad (4.38)$$

$$\begin{aligned} \frac{\partial P_i}{\partial \delta_i} &= - \sum_{j=1, j \neq i}^n |V_i| |Y_{ij}| |V_j| \sin(\theta_{ij} + \delta_i - \delta_j) \\ &= |V_i|^2 |Y_{ii}| \sin(\theta_{ii}) - Q_i \quad i=j \end{aligned} \quad (4.39)$$

$$\text{pour } J_2: \quad \frac{\partial P_i}{\partial V_j} = |V_i| |Y_{ij}| \cos(\theta_{ij} + \delta_i - \delta_j) \quad i \neq j \quad (4.40)$$

$$\begin{aligned} \frac{\partial P_i}{\partial V_i} &= \sum_{j=1, j \neq i}^n |V_j| |Y_{ij}| \cos(\theta_{ij} + \delta_i - \delta_j) + 2|V_i| |Y_{ii}| \cos(\theta_{ii}) \\ &= \frac{P_i}{|V_i|} + |V_i| |Y_{ii}| \cos(\theta_{ii}) \quad i=j \end{aligned} \quad (4.41)$$

$$\text{pour } J_3: \quad \frac{\partial Q_i}{\partial \delta_j} = -|V_i| |Y_{ij}| |V_j| \cos(\theta_{ij} + \delta_i - \delta_j) \quad i \neq j \quad (4.42)$$

$$\begin{aligned} \frac{\partial Q_i}{\partial \delta_i} &= \sum_{j=1, j \neq i}^n |V_i| |Y_{ij}| |V_j| \cos(\theta_{ij} + \delta_i - \delta_j) \\ &= -P_i - |V_i|^2 |Y_{ii}| \cos(\theta_{ii}) \quad i=j \end{aligned} \quad (4.43)$$

$$\text{pour } J_4: \quad \frac{\partial Q_i}{\partial V_j} = |V_i| |Y_{ij}| \sin(\theta_{ij} + \delta_i - \delta_j) \quad i \neq j \quad (4.44)$$

$$\begin{aligned} \frac{\partial Q_i}{\partial V_i} &= \sum_{j=1, j \neq i}^n |Y_{ij}| |V_j| \sin(\theta_{ij} + \delta_i - \delta_j) + 2|V_i| |Y_{ii}| \sin(\theta_{ii}) \\ &= \frac{Q_i}{|V_i|} + |V_i| |Y_{ii}| \sin(\theta_{ii}) \quad i=j \end{aligned} \quad (4.45)$$

D'où les équations qui lient les variations des puissances aux variations de module de tension et l'argument pour la méthode de NR est:

$$\begin{bmatrix} \Delta P \\ \dots \\ \Delta Q \end{bmatrix} = \begin{bmatrix} J_1 & | & J_2 \\ \dots & & \dots \\ J_3 & | & J_4 \end{bmatrix} \begin{bmatrix} \Delta \delta \\ \dots \\ \frac{\Delta |V|}{|V|} \end{bmatrix} \quad (4.46)$$

IV.3.1.3 SECONDE FORMULATION DE LA MATRICE JACOBIE:

$$\begin{bmatrix} \Delta P \\ \dots \\ \Delta Q \end{bmatrix} = \begin{bmatrix} J_1 & | & J_2 \\ \dots & & \dots \\ J_3 & | & J_4 \end{bmatrix} \begin{bmatrix} \Delta \delta \\ \dots \\ \frac{\Delta |V|}{|V|} \end{bmatrix} \quad (4.47)$$

Où J_1 et J_3 restent inchangéables et sont données par l'équation (4.46) par contre J_2 et J_4 sont modifiées.

Pour ij -ème terme de sous matrices J_2 est:

$$\left[\frac{\partial P_i}{\partial V_j} \right] \Delta |V_j| = |V_i| |Y_{ij}| \cos(\theta_{ij} + \delta_i - \delta_j) \Delta |V_j| \quad (4.48)$$

On multiplie la partie droite de l'équation (4.48) par $|V_j| / |V_j|$

$$\left[\frac{\partial P_i}{\partial V_j} \right] \Delta |V_j| = |V_i| |Y_{ij}| |V_j| \cos(\theta_{ij} + \delta_i - \delta_j) \frac{\Delta |V_j|}{|V_j|} \quad i \neq j \quad (3.49)$$

Idem pour J_4 :

$$\left[\frac{\partial P_i}{\partial V_j} \right] \Delta |V_j| = |V_i| |Y_{ij}| |V_j| \sin(\theta_{ij} + \delta_i - \delta_j) \frac{\Delta |V_j|}{|V_j|} \quad i \neq j \quad (4.50)$$

IV.3.2 LA METHODE NR POUR LES NOEUDS A TENSIONS CONTROLEES:

Ici P et |V| sont donnés, maintenant la puissance active P pour chaque noeud i est donné par:

$$P_i = \Re [V_i^* \sum_{j=1}^n Y_{ij} V_j] \tag{4.51}$$

Et aussi pour le noeud i on a:

$$|V_i|^2 = e_i^2 + f_i^2 \tag{4.52}$$

Où |V_i| est l'amplitude du tension, e_i et f_i sont la partie réelle et imaginaire respectivement du tension V_i.

La matrice qui lie les variations des puissances et le carré de l'amplitude du tension est donné par:

$$\begin{bmatrix} \Delta P \\ \Delta Q \\ \Delta |V|^2 \end{bmatrix} = \begin{bmatrix} J_1 & | & J_2 \\ \dots & & \dots \\ J_3 & | & J_4 \\ \dots & & \dots \\ J_5 & | & J_6 \end{bmatrix} \begin{bmatrix} \Delta e \\ \Delta f \end{bmatrix} \tag{4.53}$$

Où :

$$\Delta |V_i^{(k)}|^2 = [|V_{(i, spec)}|^2 - |V_i^{(k)}|^2] \tag{4.54}$$

$V_i^{(k)}$ est la valeur calculée à la i -ème noeud au k -ème itération, $V_{i(\text{spec})}$ c'est la valeur spécifiée donner à chaque noeud de génération.

Les éléments des Jacobiens sont calculés comme les suivants:

$$J_5 = \frac{\partial V_i^2}{\partial e_j} = 0 \quad \text{pour } i \neq j \quad (4.55)$$

$$J_5 = \frac{\partial V_i^2}{\partial e_i} = 2e_i \quad i=j \quad (4.56)$$

$$\text{idem } J_6 = \frac{\partial V_i^2}{\partial f_j} = 0 \quad \text{pour } i \neq j \quad (4.57)$$

$$J_6 = \frac{\partial V_i^2}{\partial f_i} = 2f_i \quad \text{pour } i=j \quad (4.58)$$

Les calculs des J_1, J_2, J_3 et J_4 sont discutés par avant.

En coordonnées polaires :

$$J_5 = \frac{\partial |V_i|^2}{\partial \delta_j} = 0 \quad \text{pour tout } i, j \quad (4.59)$$

$$J_6 = \frac{\partial V_i^2}{\partial v_j} = 0 \quad \text{pour } i \neq j \quad (4.60)$$

$$J_6 = \frac{\partial V_i^2}{\partial v_i} = 2|v_i| \quad \text{pour } i=j \quad (4.61)$$

Après l'obtention des tensions nodales, les puissance transitées sont calculées à partir des équations précédentes.

IV.3.3 ALGORITHME DE CALCUL:

1. Lire les données des lignes et des noeuds.
2. Définir le critère de convergence.
3. Prendre les valeurs initiales pour les tensions des noeuds :

$$V_i = (1,0) \quad i=1, n \quad i \neq s \text{ (noeud de référence)}$$

$$V_i = (|V_{\text{spéc}}|, 0) \quad i=s$$
4. Former la matrice admittance nodale du réseau.
5. Mettre le compteur d'itérations à zéro : "k=0".
6. Mettre le compteur des noeuds à un : "I=1".
7. Si I est le noeud de référence; Aller à l'étape 13.
8. Calculer $P_i^{(k)}$ et $Q_i^{(k)}$ d'après les équations (4.36) et (4.37).
9. Calculer $\Delta P_i^{(k)} = P_{i,\text{spec}} - P_i^{(k)}$
10. Si I est un noeud (P,Q); aller à l'étape 12.
11. Comparer $Q_i^{(k)}$ avec ces limites:
 - si $Q_i^{(k)}$ viole ces limites, fixer $Q_i^{(k)}$ à la limite violée; Aller à l'étape 12.
 - calculer le résidu $\Delta |V_i^{(k)}| = |V_{i,\text{spéc}}|^2 - |V_i^{(k)}|^2$; Aller à l'étape 13.
12. Calculer $\Delta Q_i^{(k)} = Q_{i,\text{spec}} - Q_i^{(k)}$
13. mettre $I=I+1$.

14. Si $l \leq N$; Aller à l'étape 7.

15. Déterminer le maximum des $|\Delta P_i^{(k)}|$ et $|\Delta Q_i^{(k)}|$.

16. Si $\max |\Delta P_i^{(k)}| \leq \epsilon$ et $\max |\Delta Q_i^{(k)}| \leq \epsilon$; Aller à l'étape 21.

17. Calculer les éléments de la matrice jacobienne d'après les équations (4.38) à (4.45) et (4.55) à (4.58).

18. Résoudre le système d'équations:

$$\begin{bmatrix} \Delta P \\ \Delta Q \\ \Delta |V|^2 \end{bmatrix} = \begin{bmatrix} J_1 & | & J_2 \\ \dots & & \dots \\ J_3 & | & J_4 \\ \dots & & \dots \\ J_4 & | & J_6 \end{bmatrix} \begin{bmatrix} \Delta \delta \\ \Delta |V| \end{bmatrix} \quad (4.62)$$

19. Calculer les nouvelles valeurs:

$$|V_i^{(k+1)}| = |V_i^{(k)}| + \Delta |V_i^{(k)}| \quad i = 1, \dots, n$$

$i \neq S$

$$\delta_i^{(k+1)} = \delta_i^{(k)} + \Delta \delta_i^{(k)}$$

20. Mettre $k = k + 1$; Aller à l'étape 6.

21. Calculer les puissances transitées et les pertes de puissance dans les lignes et les pertes totales.

22. Imprimer les résultats.

IV.3.4 ORGANIGRAMME DE LA METHODE DE NR:

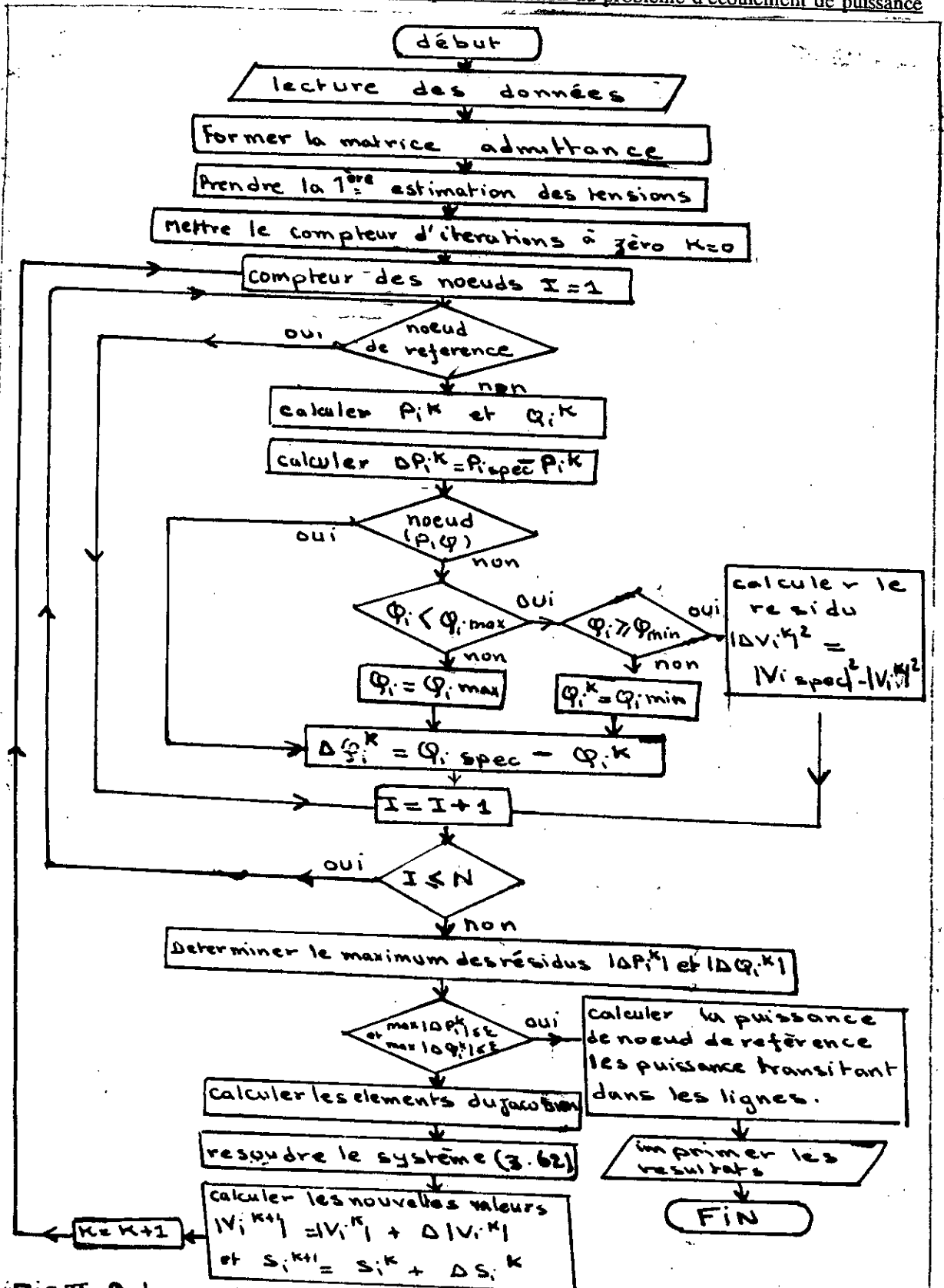


Fig II.2 la solution d'écoulement de puissance par la méthode itérative de Newton-Raphson utilisant y nodale

IV.4 CONCLUSION:

Les organigrammes précédents présentent une simplicité dans le traitement des données et une succession logique des opérations.

En comparant les deux algorithmes, on remarque que la méthode de NR nécessite un nombre plus élevé d'opérations arithmétiques par itération, donc, un temps par itération plus grand que la méthode de GS. En effet, le calcul des éléments du jacobien dans la méthode de NR nécessite un temps supplémentaire à chaque itération comparée à la méthode de GS.

Dans notre étude, on développera deux programmes en FORTRAN pour la méthode de GS et la méthode de NR qu'on testera pour la résolution de cas pratique, en plus, la méthode NR, sera l'objet de simplification dans le prochain chapitre pour formuler la méthode découplé rapide de calcul d'écoulement de puissance(FDL):

CHAPITRE

V

V.1 INTRODUCTION:

La méthode générale de NEWTON-RAPHSON développée dans le chapitre précédent donne une solution satisfaisante pour le problème de C.E.P. Cependant, la réévaluation des éléments du Jacobien après chaque itération nécessite un nombre assez élevé d'opérations arithmétiques et par conséquent un temps par itération relativement élevé.

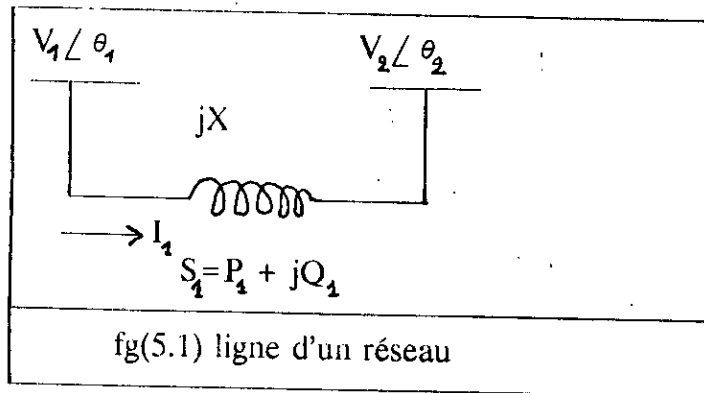
Les performances de cette méthode peuvent être améliorées en faisant des approximations physiquement et mathématiquement justifiables dans le jacobien qui permettent la minimisation de temps d'exécution et la capacité mémoire pour abotir, ainsi, à une méthode rapide de C.E.P.

V.2 DECOUPLAGE DE LA METHODE DE NR (DLF):

L'exemple suivant montre la relation entre la puissance active P et l'angle θ , d'une part, et celle entre la puissance réactive Q et le module du tension V , d'autre part. Ceci étant valable pour des réseaux électrique ayant un rapport R/X inférieur à 10% .

Nous montrons cette relation sur un exemple simple:

Soit une ligne entre les noeuds 1 et 2 représentée par la figure suivante:



S_1 : la puissance apparente transitée du noeud 1 au noeud 2, et mesurée au noeud 1.

jX : impédance de la ligne

$$S_1 = V_1 I_1^* = P_1 + jQ_1 \tag{5.1}$$

$$\text{avec } I_1 = \frac{(V_1 - V_2)}{jX} \tag{5.2}$$

On pose $|V_2| = 1$ p.u

et

$$\theta_1 - \theta_2 = \theta$$

On remplace (5.2) dans (5.1) on obtient:

$$P_1 + jQ_1 = \frac{V_1 (V_1^* - V_2^*)}{-jX} \tag{5.3}$$

D'où:

$$\begin{aligned} XP_1 &= |V_1| \sin(\theta) \\ XQ_1 &= |V_1|^2 - |V_1| \cos(\theta) \end{aligned} \tag{5.4}$$

A partir du système (5.4) on tire:

$$|V_1|^2 = (XP_1)^2 + (|V_1|^2 - XQ_1)^2 \quad (5.5)$$

Posons $|V_1'| = |V_1|^2$

d'où : (5.5) devient:

$$|V_1'| = (XP_1)^2 + (|V_1'| - XQ_1)^2 \quad (5.6)$$

$$|V_1'|^2 - (2XQ_1 + 1)|V_1'| + (XP_1)^2 + (XQ_1)^2 = 0 \quad (5.7)$$

C'est une équation du second degré a pour solution:

$$|V_1'| = XQ_1 + 0.5 + \sqrt{0.25 + (XP_1)^2 + XQ_1} \quad (5.8)$$

$$|V_1|^2 = XQ_1 + 0.5 + \sqrt{0.25 - (XP_1)^2 + XQ_1} \quad (5.9)$$

du système (5.4) :

$$\tan(\theta) = \frac{XP_1}{|V_1|^2 - XQ_1} \quad (5.10)$$

Donc
$$\theta = \arctan \frac{XP_1}{0.5 + \sqrt{0.25 - (XP_1)^2 + XQ_1}} \quad (5.11)$$

a) Relation P,θ:

Posons $XQ_1 = 0$.

On dérive l'équation (5.9) par rapport à XP_1

$$\frac{d|V_1|^2}{d(XP_1)} = \frac{-XP_1}{\sqrt{0.25 - (XP_1)^2}} \quad (5.12)$$

$$\lim_{XP_1 \rightarrow 0} \frac{d|V_1|^2}{d(XP_1)} = \lim_{XP_1 \rightarrow 0} \frac{-XP_1}{XP_1 \sqrt{\frac{0.25}{(XP_1)^2} - 1}} = 0 \quad (5.13)$$

On dérive aussi (5.11) par rapport à XP_1

$$\frac{d\theta}{dXP_1} = \frac{1}{1 + \left(\frac{XP_1}{0.5 + \sqrt{0.25 - (XP_1)^2}} \right)^2} \cdot \frac{0.25 + 0.5\sqrt{0.25 - (XP_1)^2}}{\sqrt{0.25 - (XP_1)^2} (0.5 + \sqrt{0.25 - (XP_1)^2})^2}$$

Donc:

$$\lim_{XP_1 \rightarrow 0} \frac{d\theta}{d(XP_1)} = \frac{0.25 + 0.25}{0.5(0.5 + 0.5)^2} = 1 \quad (5.15)$$

les variations de $|V_1|$ et θ en fonction de XP_1

Prenons par exemple la ligne 2_3 du réseau IEEE 14 bus.

Où $R/X = 0.237$; $X = 0.19797 \text{ p.u}$

$$|V_1| = \sqrt{0.5 + \sqrt{0.25 - 0.0392P_1^2}}$$

P_2 (p.u)	0.1	0.3	0.5	0.7	0.9	1.0
$ V_2 $ p.u	0.9998	0.9982	0.9951	0.9904	0.9840	0.9802
θ (degrés)	1.14	3.41	5.70	7.98	10.43	11.64

On voit d'après la table ci-dessus que la puissance active est beaucoup moins sensible à la variation de l'amplitude de tension qu'à la variation de phase et d'après les équations (5.13) et (5.15). Les éléments de la sous matrice Jacobienne J_2 peuvent être considérés approximativement nuls

-Les fonctions θ et $|V_1|^2$ sont monotones. θ est donc, prépondérant par rapport à $|V_1|$ avec la variation de la puissance active .

b) Relation Q_1 , $|V|$:

Posons $XP_1 = 0$.

Dérivons l'équation (5.9) par rapport à XP_1 .

$$\frac{d|V_1|^2}{d(XQ_1)} = \frac{1}{2\sqrt{0.25+XQ_1}} + 1 \tag{5.16}$$

$$\lim_{XQ_1 \rightarrow 0} \frac{d|V_1|^2}{d(XQ_1)} = 2 \tag{3.17}$$

Dérivons ainsi (5.11) par rapport à XQ_1 .

$$\frac{d\theta}{d(XQ_1)} = 0 \quad ; \quad \lim_{XQ_1 \rightarrow 0} \frac{d\theta}{d(XQ_1)} = 0 \tag{5.18}$$

En prenant le même exemple que pour le cas précédent on a donc:

Q_1 (p.u)	0	0.1	0.3	0.5	0.8	1.0
$ V_1 $ (p.u)	1	1.049	1.037	1.091	1.139	1.17

Nous remarquons que la puissance

réactive est beaucoup moins sensible à la variation de phase qu'à l'amplitude du tension.

Les éléments de la matrice Jacobienne J_3 peuvent être considérés approximativement

nuls.

Donc l'équation:

$$\begin{bmatrix} \Delta P \\ \dots \\ \Delta Q \end{bmatrix} = \begin{bmatrix} J_1 & | & J_2 \\ \dots & & \dots \\ J_3 & | & J_4 \end{bmatrix} \begin{bmatrix} \Delta \theta \\ \frac{\Delta |V|}{|V|} \end{bmatrix}$$

ou

$$\begin{bmatrix} \Delta P \\ \dots \\ \Delta Q \end{bmatrix} = \begin{bmatrix} H & | & N \\ \dots & & \dots \\ J & | & L \end{bmatrix} \begin{bmatrix} \Delta \theta \\ \frac{\Delta |V|}{|V|} \end{bmatrix}$$

Déviént:

$$\begin{bmatrix} \Delta P \\ \dots \\ \Delta Q \end{bmatrix} = \begin{bmatrix} H & | & 0 \\ \dots & & \dots \\ 0 & | & L \end{bmatrix} \begin{bmatrix} \Delta \theta \\ \frac{\Delta |V|}{|V|} \end{bmatrix} \tag{5.19}$$

Le système (5.19) est ainsi découplé:

$$[\Delta P] = [H] [\Delta \theta] \tag{5.20}$$

et

$$[\Delta Q] = [L] \left[\frac{\Delta |V|}{|V|} \right] \tag{5.21}$$

On peut résoudre séparément ces 2 équations:

$$[\Delta \theta] = [H]^{-1} [\Delta P] \tag{5.21}$$

et

$$\left[\frac{\Delta V}{|V|} \right] = [L]^{-1} [\Delta Q] \quad (5.23)$$

Remarques: Les solutions $[\Delta\theta]$ et $[\Delta V/|V|]$ nécessitent l'inversion des matrices $[H]$ et $[L]$ dont les dimensions sont approximativement 1/4 du dimension de matrice Jacobienne. Il est apparan que cette approche significative réduit non seulement le temps de calcul par itération mais aussi la capacité mémoire de l'ordinateur.

Mais le problème de réévaluation des éléments de H et L après chaque itération demeure posé.

V.3 METHODE DECOUPLEE RAPIDE DE CALCUL D'ECOULEMENT DE PUISSANCE(FDL):

Bien que la méthode découplée réduit la mémoire , elle exige encore un effort de calcul (réévaluation des éléments de Jacobien à chaque itération).

Ces problème a été surmonté en introduisant certaines hypothèses simplificatrices.

Considérons les équations (5.20) et (5.21) de la méthode découplée:

Où les éléments de sous matrices H et L peuvent s'exprimer:

Nontons que: $V_i = |V| \angle \theta_i$

$$\begin{aligned} \frac{\partial P_i}{\partial \theta_j} &= H_{ij} = |V_i| |V_j| |Y_{ij}| \sin(\theta_{ij} + \theta_i - \theta_j) \\ &= |V_i| |V_j| [|Y_{ij}| \sin \theta_{ij} \cos(\theta_i - \theta_j) + |Y_{ij}| \cos \theta_{ij} \sin(\theta_i - \theta_j)] \\ &= |V_i| |V_j| [-B_{ij} \cos(\theta_i - \theta_j) - jG_{ij} \sin(\theta_i - \theta_j)] \end{aligned} \quad (5.24)$$

telque:

$$Y_{ij} = |Y_{ij}| \cos \theta_{ij} - j |Y_{ij}| \sin \theta_{ij} = G_{ij} + j B_{ij}$$

$$H_{ij} = - \left[\sum_{j=1}^n |V_i| |Y_{ij}| |V_j| \sin (\theta_{ij} + \theta_i - \theta_j) - |V_i|^2 |Y_{ii}| \sin \theta_{ij} \right]$$

$$H_{ii} = -|V_i|^2 B_{ii} - Q_i \tag{5.25}$$

De même les éléments de sous matrice L s'écrivent:

$$L_{ij} = \frac{\partial Q_i}{\partial V_j} = |V_i| |V_j| [G_{ij} \sin (\theta_i - \theta_j) - B_{ij} \cos (\theta_i - \theta_j)] \tag{5.26}$$

L'équation (5.24) est identique à L_{ij} donc:

$$L_{ij} = H_{ij} = |V_i| |V_j| [G_{ij} \sin (\theta_i - \theta_j) - B_{ij} \cos (\theta_i - \theta_j)] \tag{5.27}$$

De même pour les élément diagonaux:

$$L_{ii} = \frac{\partial Q_i}{\partial V_i} = Q_i - |V_i|^2 B_{ii} \tag{5.28}$$

Des hypothèses simplificatrices physiquement justifiables ont été ainsi proposés:

- 1) Comme le réseau possède en général un rapport R/X relativement faible (inférieure à 10 %) on peut écrire:

$$G_{ij} \sin (\theta_i - \theta_j) \ll B_{ij} \tag{5.20}$$

2) La différence entre les phases de tensions des 2 noeud adjacents est très petite, d'où:

$$\sin(\theta_i - \theta_j) \approx \sin\theta - \theta_i - \theta_j - \theta \quad (5.30)$$

$$\cos(\theta_i - \theta_j) \approx 1.0 \quad (5.31)$$

3) Et aussi

$$Q_i \ll B_{ii} V_i^2 \quad (5.32)$$

Donc (5.20) et (5.21) sont approximées par:

$$[\Delta P] = [VB'V] [\Delta\theta] \quad (5.33)$$

$$[\Delta Q] = [VB''V] [\Delta V] \quad (5.34)$$

Où les éléments de matrice $[B']$ et $[B'']$ sont les éléments de la matrice $[-B]$ de dimensions respectivement $(N-1)*(N-1)$ et $(N-N_{pv})*(N-N_{pv})$.

Le processus de découplage et la forme finale d'algorithme sont complétés en:

a) Négligent les éléments affectant l'écoulement de la puissance réactive pendant la formation de $[B']$, ce qui revient à négliger les réactances shunts et considérer que tous les transformateurs fonctionnent à leur régime nominale.

b) Négligent les éléments affectant l'écoulement de puissance active pendant la formation de $[B'']$ en négligeant l'effet des transformateurs déphaseurs.

c) Négligent aussi les résistances séries pendant la formation de $[B']$, cet approche

a été trouvée expérimentalement.

d)Négligeant également les réactances series dans le calcul de [B'], qui devient ainsi une approximation de matrice d'un écoulement de puissance continue (DC Load Flow).Ceci est d'importance mineure, mais l'expérience a montré que cela améliore légèrement les résultats.

Avec les modifications ci-dessus, les équations de (FDL) deviennent:

$$\left[\frac{\Delta P}{|V|} \right] = [B'] [\Delta \theta] \quad (5.35)$$

$$\left[\frac{\Delta Q}{|V|} \right] = [B''] [\Delta |V|] \quad (5.36)$$

Où les éléments des matrices [B'] et [B''] sont:

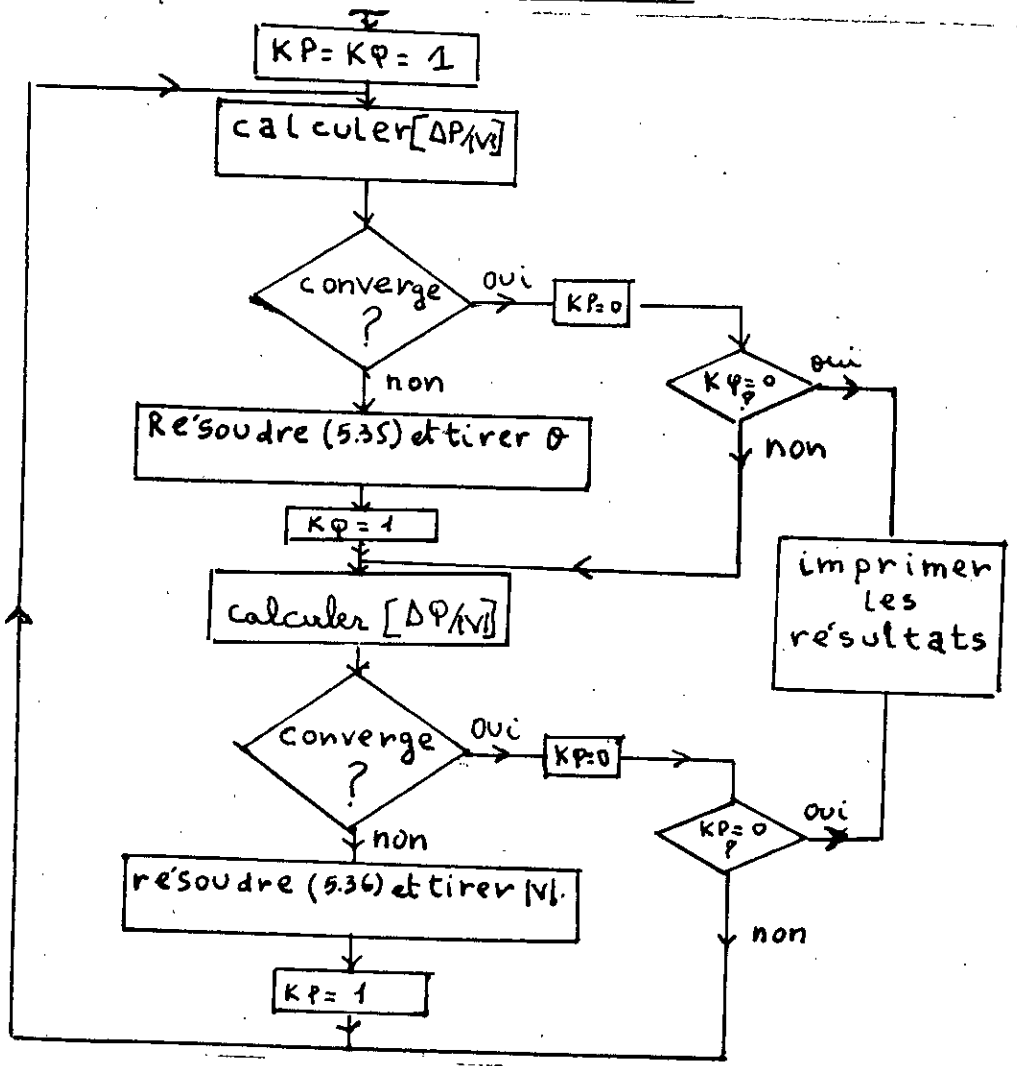
$$B'_{ij} = \frac{-1}{X_{ij}} \quad i \neq j \quad (5.37)$$

$$B'_{ij} = \sum_{j=1}^n \frac{1}{X_{ij}} \quad i=j \quad (5.38)$$

$$B''_{ij} = B_{ij} \quad (5.39)$$

Les deux matrices [B'] et [B''] sont réelles et creuses et ont la structure de [H] et [L] respectivement, puisqu'elles contiennent seulement les admittances de réseau.Elles sont donc constantes et n'ont besoin d'être inversées qu'une seule fois au début du programme.Le problème relatif à la réévaluation des éléments du matrices jacobienne est ainsi, résolu.

V.4 ORGANIGRAMME DE LA METHODE EDL :



V.5 ALGORITHME DE LA METHODE FDL:

Les détails de l'organigramme sont donnés dans ce qui suit:

- 1) Lire les données.

2) Définir le critère de convergence ϵ .

3) Prendre des valeurs initiales des tensions des noeuds:

$$|V_i| = 1, \theta_i = 0 \quad i = 1, \dots, n ; i \neq s, \text{ noeud de référence}$$

$$|V_i| = |V_{i,spec}| ; \theta_i = 0 \quad i = s$$

4) Former les matrices $[B']$

et $[B'']$ et les inverser.

5) Mettre le compteur d'itération à zéro $k=0$.

6) Calculer les puissances actives et réactive des noeuds (P,Q) et $(P,|V|)$, on compare la puissance réactive avec les limites.

7) Calculer les résidus:

$$\Delta P_i^k = P_{i,spec} - P_i^k \quad \text{pour les noeuds } (P,Q) \text{ et } (P,|V|)$$

$$\Delta Q_i^k = Q_{i,spec} - Q_i^k \quad \text{pour les noeuds } (P,Q)$$

8) Tester si $\max \Delta P_i^k \leq \epsilon$, si oui aller à l'étape 11

9) Déterminer de nouvelles valeurs des corrections des angles en résolvant le système d'équations:

$$[\Delta \theta]^{(k)} = [B']^{-1} \left[\frac{\Delta P}{|V|} \right]^{(k)}$$

10) Déterminer les nouvelles valeurs des angles de phase:

$$[\theta]^{(k+1)} = [\theta]^{(k)} + [\Delta \theta]^{(k)}$$

11) Tester si $\max \Delta Q_i^k \leq \epsilon$, si oui aller à l'étape 18.

12) Recalculer les puissances actives et réactives ainsi que les résidus.

13) Tester si $\max \Delta Q_i^k \leq \epsilon$, si oui, aller à l'étape 17.

14) Déterminer les nouvelles corrections sur les amplitudes de tensions en résolvant le système d'équations:

$$[\Delta V]^{(k)} = [B'']^{-1} \left[\frac{\Delta Q}{V} \right]^{(k)}$$

- 15) Déterminer de nouvelles valeurs des amplitudes de tensions, aller à l'étape 17.
- 16) Tester si $\max \Delta P_i^k \leq \epsilon$, si oui aller à l'étape 18.
- 17) $k = k + 1$ aller à l'étape 6.
- 18) Imprimer les résultats.

V.6 ETUDE THEORIQUE DE LA CONVERGENCE DE FDL:

La première étape dans cette étude est de mettre les équations de FDL sous la forme générale des équations nonlinéaires, puis en appliquant des théorèmes mathématiques bien connues concernant la condition de convergence de méthodes itérative sur le FDL.

Les résultats principales donnent les informations suivantes:

- 1) La condition de convergence.
- 2) Existence et unicité de solution dans region specifier.
- 3) L'erreur estimée dans chaque itération.

Le problème d'écoulement de puissance est la solution des équations (en coordonnés polaires)suivantes:

$$\sum_{j=1}^n |V_i| |V_j| (G_{ij} \cos(\theta_i - \theta_j) + B_{ij} \sin(\theta_i - \theta_j)) - P_i^{sp} \quad i=1, \dots, n \quad (5.41)$$

$$\sum_{j=1}^n |V_i| |V_j| (G - ijs \sin(\theta_i - \theta_j) - B_{ij} \cos(\theta_i - \theta_j)) - Q_i^{sp} \quad i=1, \dots, n \quad ()$$

Au point de vue mathématique (et non calcul) les équations (5.35) et (5.36) sont équivalents à:

$$\begin{bmatrix} \Delta P \\ \dots \\ \Delta Q \end{bmatrix} = \begin{bmatrix} \tilde{V}B' & | & 0 \\ \dots & & \dots \\ 0 & | & \tilde{V}''B'' \end{bmatrix} \begin{bmatrix} \Delta \theta \\ \dots \\ \Delta |V| \end{bmatrix} \quad (5.43)$$

Où \tilde{V} est une matrice diagonale de dimension $n \times n$ dont le k^{ieme} élément diagonle est V_k et \tilde{V}'' est les premiers $q \times q$ sous matrice de V . (où q est le nombre noeuds PQ).

Si on définit:

$$x = (\theta, V) = (\theta_1, \dots, \theta_n, V_1, \dots, V_q)$$

et

$$y = (P_{sp}, Q_{sp}) = (P_1^{sp}, \dots, P_n^{sp}, Q_1^{sp}, \dots, Q_q^{sp})$$

Et on pose: $F(x) = y$

D'où: $F_\theta(\theta, V) = P^{sp}$

$$\begin{cases} F_V(\theta, V) = Q^{sp} \end{cases}$$

Donc l'équation (5.42) devient:

$$[y - F(x^{(k)})] = [A(x^{(k)})] [x^{(k+1)} - x^{(k)}] \quad (5.44)$$

$$x^{(k+1)} = x^{(k)} - [A(x^{(k)})]^{-1} [F(x^{(k)}) - y] \quad (5.45)$$

où

$$A(x^{(k)}) = \begin{bmatrix} \tilde{V}B' & 0 \\ 0 & \tilde{V}B'' \end{bmatrix} \quad (5.46)$$

On a montré ainsi que FDL peut être mis sous la forme d'un système d'équations nonlinéaires.

On suppose maintenant qu'on s'intéresse à trouver la solution dans la région R définie par:

$$|\theta_i| < \alpha \quad i=1, \dots, n \quad (5.47)$$

$$||V_i|-1| < \epsilon \quad i=1, \dots, n \quad (5.48)$$

Soit c un nombre défini par:

$$c = \max_{\xi \in R} \| [A(\xi)]^{-1} \Delta(\xi) \|$$

On suppose que:

i) $c < 1$ (5.49)

ii) Les variations initiales $\Delta\theta_i^0$ et ΔV_i^0 satisfont au:

$$\max \frac{\epsilon |\Delta\theta_i^0|}{\alpha}, |\Delta V_i^0| < (1-c)\epsilon \quad (5.50)$$

En appliquant la theoreme (A) (voir l'annexe) pour les equations de E.P par la methode FDL iterative decrit par les equations (5.35) et (5.36) avec les conditions initiales:

$$\theta_i^0=0, |V_i|=1$$

On tire les resultats suivants:

- 1) Il existe une solution unique pour le probleme E.P dans la region R.
- 2) Les equations (5.35) et (5.36) convergent vers la solution.
- 3) Dans la k^{ieme} iteration, la difference entre $(\theta_i, |V_i|)$ et la solution exacte $(\theta_i^*, |V_i^*|)$ est inferieure ou egale a:

$$\frac{c}{1-c} \max \left[\frac{\epsilon |\Delta \theta_i^{(k-1)}|}{\alpha}, |\Delta V_i^{(k-1)}| \right]$$

c.à.d

$$\max \left[\frac{\epsilon}{\alpha} |\theta_i^{(k)} - \theta_i^*|, |V_i^{(k)} - V_i^*| \right] < \frac{c}{1-c} \max \left[\frac{\epsilon}{\alpha} |\Delta \theta_i^{(k-1)}|, |\Delta V_i^{(k-1)}| \right] \quad (5.51)$$

Remarques sur les resultats:

- 1) Le nombre c est en fonction des parametres de reseau (le rapport R/X maximum, impédance...etc) et de region de solution (α et ϵ)
- 2) Une etude montre que la valeur de c augmente avec le rapport maximum R/X. La condition de convergence est difficile a satisfaire pour des systemes avec des rapports R/X éleves.
- 3) puisque $\| x^{i+1} - x^i \| \leq c \| x^i - x^{i-1} \|$, le nombre c sert à indiquer le taux de convergence. La plus petite valeur de c donne la plus rapide convergence. Ceci pour les

réseaux avec R/X petits.

4) Les conditions (5.49) et (5.50) sont suffisantes.

5) La question de l'existence et l'unicité de la solution E.P est une problème théoriquement irrésoluble, mais les conditions (5.49) et (5.50) grantie l'unicité de la solution.

V.7 MODIFICATIONS DE FDL POUR DES RESEAUX AVEC DES RAPPORT R/X

ELEVES:

Pour résoudre le problème

d'écoulement de puissance, la méthode FDL est le plus populaire à cause de son efficacité. Sa régularité pour le plupart des réseaux électriques est très élevée, mais elle presente, cependant, certaines difficultes de convergence pour des systèmes avec des rapport R/X élevés.Des études ont essayées de contourner ce problème en propsonst des modifications à la méthode FDL.

V.7.1 PREMIERS MODIFICATIONS: (cas RX)

Dans la pratique, il est trouvé que le FDL converge bien si G_{ij} ne depasse pas significativement B_{ij} . Dans le cas où le depassement est considérable l'introduction des conductances G_{ij} dans les itérations ameliore la convergence.

D'où:

$$\frac{P_i}{|V_i|} = |V_i|G_{ii} + \sum_{j=1}^n |V_j|[G_{ij}\cos(\theta_i - \theta_j) + B_{ij}\sin(\theta_i - \theta_j)] \quad (5.49)$$

$$\frac{Q_i}{|V_i|} = -|V_i|B_{ii} + \sum_{j=1}^n |V_j|[G_{ij}\sin(\theta_i - \theta_j) - B_{ij}\cos(\theta_i - \theta_j)] \quad (5.50)$$

Une manière d'introduire G_{ij} dans les itérations est d'additionner les équations (5.49) et (5.50).

$$\frac{P_i+Q_i}{|V_i|} = (G_{ii}-B_{ii})|V_i| + \sum_{j=1}^n |V_j| [(G_{ij}-B_{ij}) \cos(\theta_i-\theta_j) + (G_{ij}+B_{ij}) \sin(\theta_i-\theta_j)] \quad (5.51)$$

L'équation (5.36) de FDL est remplacée par:

$$\Delta P + \Delta Q = B''' \Delta V \quad (5.52)$$

Où B''' est approximé par:

$$B'''_{ij} = G_{ij}-B_{ij} ; B'''_{ii} = G_{ii}-B_{ii} \quad (5.53)$$

L'équation (5.35) de FDL reste inchangéable, mais l'effet de G_{ij} est repercute sur l'approximation de B' . Une expression qui modère cet effet est proposé pour B' :

$$B'_{ij} = -B_{ij} - 0.4 G_{ij} - 0.3 \frac{G_{ij}^2}{B_{ij}}$$

$$B'_{ii} = -\sum B'_{ij}$$

les coefficients 0.4 et 0.3 sont trouvés exprimentalement.

V.7.2 SECONDES MODIFICATIONS:

Dans l'algorithme standard de FDL les résistances sont ignorées durant la formation de la matrice B' ; il a été montré qu'il est préférable de les ignorées seulement durant la formation de la matrice B'' (cas BX).

V.8 RESUME DES DIFFERENTS CAS DE L'ALGORITHME DU FDL:

Les différents cas pour différents modifications proposées dans l'algorithme du

calcul de E.P sont les suivantes:

1^{er} cas(BB): Les résistances ne sont pas ignorées dans B' et B". Aussi les admittances shunts sont utilisées dans les deux matrices, cette forme du (FDL) généralement donne une mauvaise convergence.

2^{ème} cas(XB): Les résistances sont ignorées dans B' uniquement.

Cette matrice ne comporte que les reactances de branches. Cette version est le FDL standard qui possède une excellente convergence pour des cas normaux.

3^{ème} cas(BX): Les résistances sont ignorées dans la matrice B" uniquement. Pour des réseaux normaux le nombre d'itérations est le même que le cas XB, mais pour des systèmes avec des rapport R/X élevés le nombre d'itérations nécessaire est inférieur à celui des cas XB.

4^{ème} cas(XX): Les résistances sont ignorées dans les deux matrices B' et B". Cette version est moins bonne que les cas XB et BX, mais elle est présentée dans le souci de compléter tous les cas de figure.

5^{ème} cas(RX): Elle correspond à l'algorithme de (V.7.1) proposée pour les cas de systèmes avec un rapport R/X élevés.

V.9 CONCLUSION:

Avec des approximations physiquement justifiables, nous avons présentés une méthode de calcul rapide d'écoulement de puissance généralement très utilisée.

L'algorithme développé, dans ce chapitre pour toutes les versions de la méthode rapide de C.E.P notamment la version standard, BX et RX. Cet algorithme assure la résolution alternative des deux systèmes d'équations $[\Delta|V|]$ et $[\Delta\theta]$.

Nous avons développé, pour toutes les versions de la méthode de FDL un programme en FORTRAN que nous testerons pour la résolutions de cas pratiques.

Pour l'inversion des matrices B' et B'' , nous adapterons la méthode d'inversion de Shipley-Colman.

CHAPITRE

VI

VI.1 INTRODUCTION

Les trois programmes en FORTRAN des trois principales méthodes présentés dans les chapitres précédents sont exécutés et testés sur les trois réseaux standards IEEE: IEEE 14 Bus, IEEE 30 Bus, IEEE 57 BUS.SYSTEM. (voir les données dans l'annexe).

Le taux de convergence, la tolérance, le temps de résolution et le problème de mal-conditionnement sont l'objet de nos comparaisons.

VI.2 Convergence

Le taux de convergence de la méthode de GAUSS-SEIDEL est lent, elle nécessite un nombre relativement élevé d'itération pour obtenir la même solution qu'avec la méthode de NEWTON-RAPHSON. Le nombre d'itération de GAUSS-SEIDEL augmente directement avec le nombre de nœuds de réseau, mais il est relativement constant pour les autres méthodes, indépendamment de la dimension du réseau. Pour augmenter le taux de convergence de la méthode de GS en fait appel à l'utilisation de facteur d'accélération.

Le calcul des valeurs de facteur optimums d'accélération de la solution de l'écoulement de puissance est assez difficile, cependant ces valeurs peuvent être déterminées empiriquement, le facteur d'accélération dépend de la caractéristique du réseau et de la méthode utilisée. Les effets de différents facteurs d'accélération sur le taux de convergence des principales méthodes présentées sont montrés sur la figure (6.1).

Le système IEEE 14-bus (14 nœuds et 20 lignes) a été utilisé pour cette analyse.

La tolérance nécessaire pour obtenir la solution varie d'une méthode à une autre.

La lente convergence de la méthode de GAUSS-SEIDEL utilisant la matrice admittance en coordonnées polaires nécessite un tolérance de 0.00001 p.u pour l'amplitude de tension, la tolérance de la méthode NR est de 0.0001 p.u pour la puissance active et réactive afin d'obtenir le même resultat que la méthode GS.

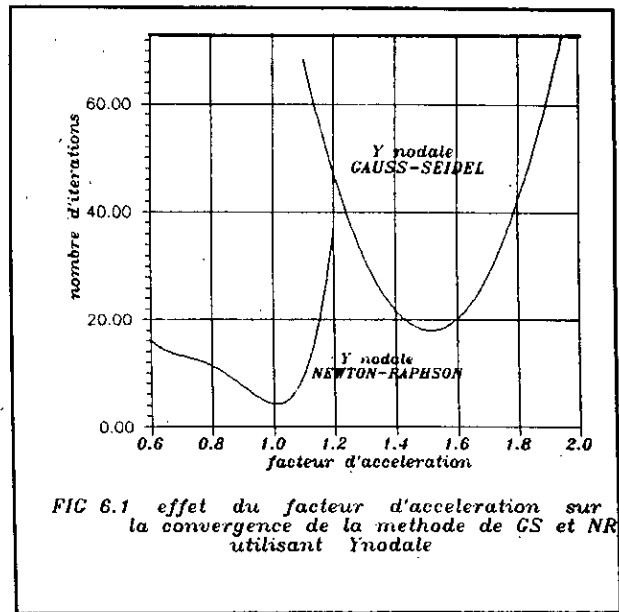


FIG 6.1 effet du facteur d'acceleration sur la convergence de la methode de GS et NR utilisant Y_{nodale}

La méthode de NEWTON-RAPHSON est avantageuse, puisque les tolérances sont spécifiées pour les puissances actives et réactives. Les valeurs de tolérance sont données directement par l'ingénieur ou l'exploitant qui spécifie la précision désirée du réseau.

Le nombre d'itérations des différentes méthodes pour différents réseaux et les tolérances spécifiées pour chaque méthode ainsi que les facteurs d'accélération sont résumés dans le tableau (6.1); Pour tous les tests les valeurs initiales des tensions est égale à $1.0+j0.0$ p.u

nombre de noeuds	GS *	NR \$	FDL \$
14	29	3	4
30	42	3	4
57	60	3	5

table (6.1) nombre d'itération pour la résolution de E.P

* Facteur d'accélération 1.7 et la tolérance du 0.00001 p.u pour l'amplitude de tension.
 \$ Tolérance 0.0001 p.u pour la puissance active et réactive, le facteur d'accélération est non nécessaire.

V.13 TEMPS DE RESOLUTION

Les temps nécessaires par itération obtenus pour les principales méthodes présentées, sont montrés sur la la figure(6.2).

La méthode de GAUSS-SEIDEL nécessite le plus petit nombre d'opérations arithmétiques pour compléter une itération, à cause de la simplicité de sa technique. Dans la méthode NR le calcul des éléments de la matrice Jacobienne à chaque itération demande un temps supplémentaire.

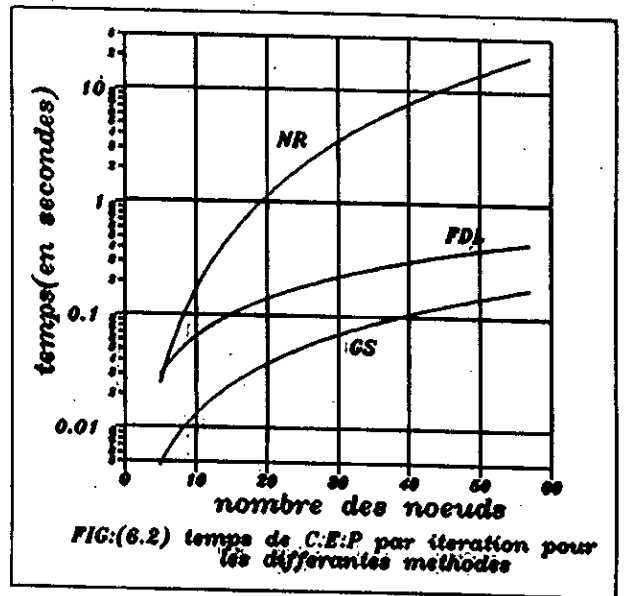
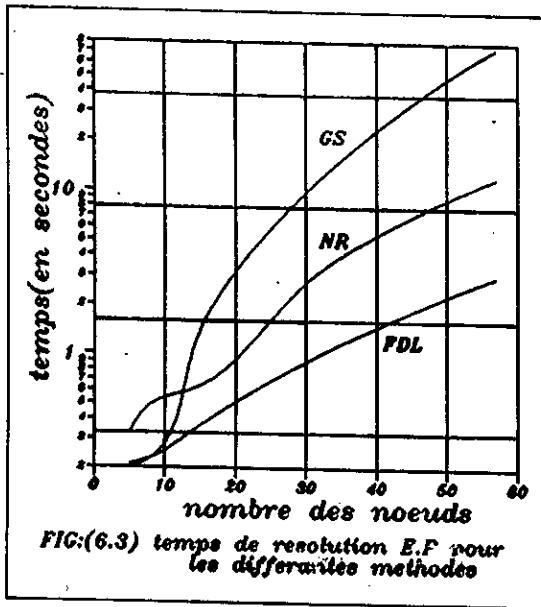
La méthode rapide de calcul d'écoulement de puissance (FDL) nécessite un temps de calcul inférieur à celui de NR à cause de l'inversion de B'et B'' qui se fait qu'une seule fois au début de la solution et à cause du découplage qui réduit la dimension des matrices à inverses.

Pour les trois méthodes, le temps par itération augmente directement avec le nombre de noeuds du réseau étudié, car le temps d'exécution est proportionnel à N^3 .

La figure (6.3) montre le temps total de toutes les itérations pour chacune des trois méthodes. On remarque que la méthode FDL est la plus rapide, suivie par la méthode NR puis en fin la méthode de GS.

Le temps de calcul nécessaire dépend aussi de la vitesse des ordinateurs et de l'efficacité du programme établi.

N.B: Le temps execution de programme est prié du VAX



VI4 EFFET DE CAPACITE SERIE:

Des tests pour étudier l'effet des capacités séries ont été faits sur le réseau IEEE 14 bus (14 noeuds et 20 lignes).

Le nombre de cas tests est égal au nombre de lignes où nous avons changé la réactance inductive en réactance capacitive de même valeur. Pour chaque test nous ne modifions qu'une seule ligne du réseau.

Les résultats sont donnés dans le tableau (6.2).

Il apparait de ces tests que la méthode de GAUSS-SEIDEL presente un échec dans la résolution du problème d'écoulement de puissance dans de 80% de cas. Par contre la methode NR peut resoudre facilement ce genre de problème. La methode FDL, présente elle aussi certains difficultés dans la résolution de ce type du probleme (55% de succès).

Nombre de cas du succès			Nombre de lignes qui résulte l'échec		
GS	NR	FDL	GS	NR	FDL
4	18	11	1,2,3,6,7,8,10,11 13, 14, 15, 17, 18, 19 20	2,3	2,3,4,6,12,14,17, 19, 20

table(6.2) Effet de branches capacitives(IEEE 14 BUS-SYSTEM)

VI.5 COMPARAISON ENTRE LES DIFFERENTS VERSIONS DE LA METHODE FDL:

Dans cette partie plusieurs résultats sont donnés avec l'intention de demontrer l'avantage de faire le changement de XB à BX ou RX pour des cas normaux et pour des cas où R/X est élevé.

Le premier test était designé pour voir l'influence du résistance sur la convergence du problème d'écoulement de puissance. Ceci a été réalisé en multipliant toutes les résistances de branche par un même facteur d'échelle allant de 0.5 jusqu'a la valeur la plus élevée possible.

Les résultats sont donnés dans la table (6.3). La comparaison a été faite pour le cas BB,XB,BX,XX,RX et NR. Il est clair que la version BB n'est pas recommandée, même pour des facteurs normaux. La même remarque peut être faite pour la version XX. Bien

qu'elle n'est pas aussi mauvaise que la cas BB. La seule comparaison qu'on peut faire est entre le BX, XB et RX. On peut la resumer comme suit:

- Par rapport aux systèmes de tests considérés et par rapport aux petits facteurs d'échelles de R (inf à 1.0), il n'est pas nécessaire de passer de XB à BX ou RX, bien que les désavantages de BX et RX sont relativement petits.
- Pour de facteurs d'échelle de R élevé le nombre d'itérations pour le trois versions diffère visiblement, les cas BX et RX réduisent mieux le nombre d'itération.
- Pour tous le cas, quand la solution peut être trouvée par la méthode NR, elle le peut être aussi par la version BX du FDL a l'exception de IEEE 30 bus system.
- Pour les petits et moyens facteurs d'échelle de R la version BX est plus performante que RX, par contre pour des facteur d'échelle de R élevés, la version RX devient meilleur.

Dans la table (6.4) le nombre d'itérations est donné pour plusieurs tolérances compris entre 1(MW/Mvar) et 0.001(MW/Mvar). L'avantage relatif des versions BX et RX est que le taux de convergence est globalement constant pour tous les tolérances.

Ces deux tests ont été basés sur des réseaux où le rapport R/X a été augmenté en multipliant toutes les résistances par un facteur d'échelle. Les réactances demeurent inchangées. Le même rapport peut être augmenter par la diminution des réactances X.

dans la table (6.5) toutes les réactances sont multipliées par un facteur inférieur ou égal a l'unité. Il est clair que la version RX n'est pas recommandée. Par contre le passage de XB standard à BX est meilleur. Le rapport R/X peut être élevé jusqu'a 10 fois.

Pour comparer le type de convergence de BX et XB la fig(6.4) et la fig(6.5) montrent les différents modèles de convergence avec trois différents facteurs d'échelles pour le

réseau de 14 noeuds (IEEE 14 BUS system).

La fig (6.4) a montrée le type de convergence de XB standard. Les mismatches de puissance réactive est forcement réduit durant l'itération de l'amplitude de tension mais ils sont largement detruit pendant l'itération suivante de puissance active. Les mismatches de puissances actives sont réduit ordinairement, l'influence de la solution de la puissance réactive est très petit .

L'utilisation de la version BX modifie la convergence. La reduction de mismatches de puissances réactive devient également ordinaire, l'influence de la partie de puissance active dans la solution est diminie. La conduite de la convergence de mismatches de puissances actives est à peu près la même qu'avec la version XB. La conclusion la plus evidente qu'on peut tirer de la fig(6.4.b) c'est: l'erreur cumulative causée par toutes les approximations, apparait dans la distrubution égale et uniforme entre le deux procédures de solution, autrement dit la convergence de deux parties.

Ce conclusion devient particulièrement evident autour de point final de la solusion.

Quand les résistances sont augmentées la convergence de version XB deminue de deux facons: l'ifluence destuctrice des variations des phases sur les mismatches de puissances réactives va augmenter d'une part, et la force de la convergence de la partie active est diminuée d'autre part fig (6.4.c) et (6.4.e). La version BX est aussi affectée par ce changement de résistances. Les mismatches de puissance active vont se detruit legerement, les mismatches de puissance réactive sont réduit durant le deux types d'iterations. Cet effet est montré dans la fig (6.4 d) et particulièrement dans la fig (6.4 f).

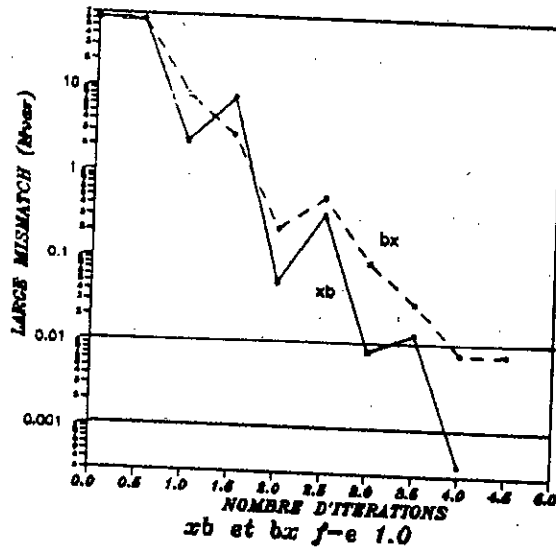


fig (6.5.a)

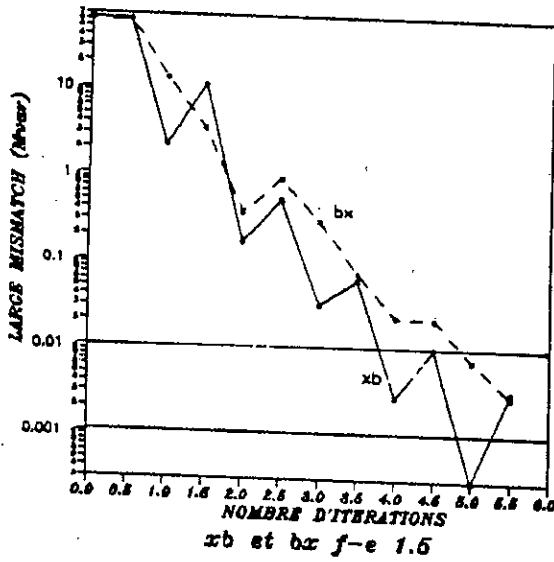


fig (6.5. b)

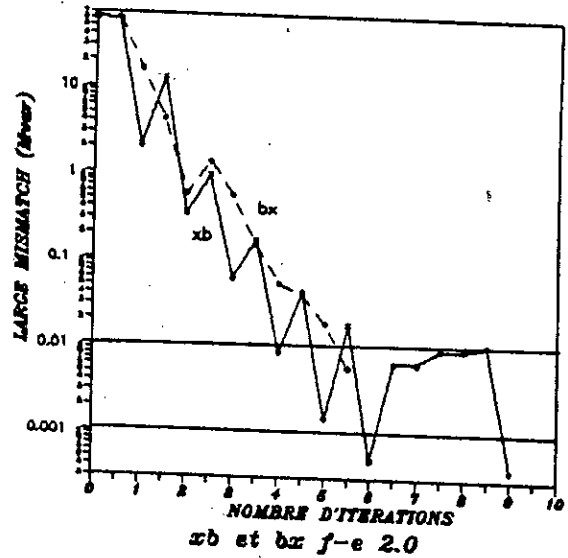


fig (6.5. c)

fig (6.5) type de convergence de FDL, xBetBX
 pour IEEE-14 BUS SYSTEM tolérance
 0.01 Mvar

— version xb
 - - - version bx

table(6.3) nombre d'itérations pour plusieurs réseaux

avec différents facteur d'échelle de R

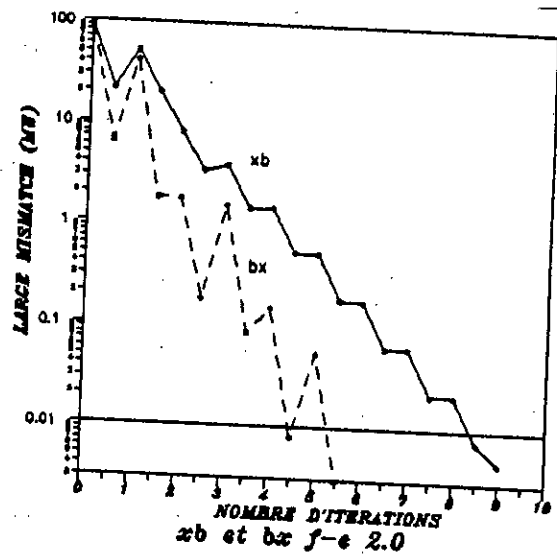
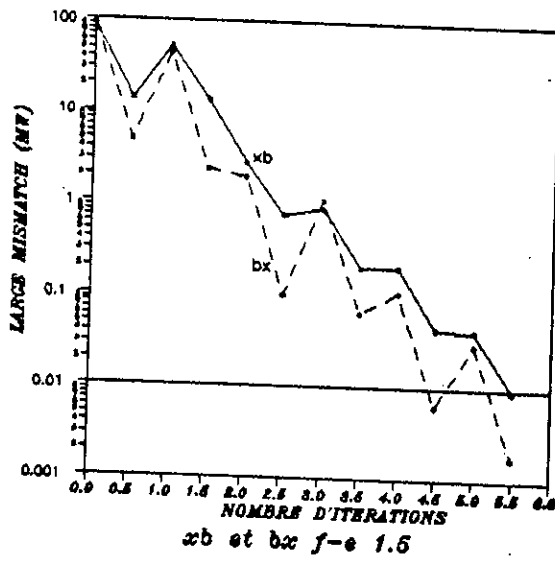
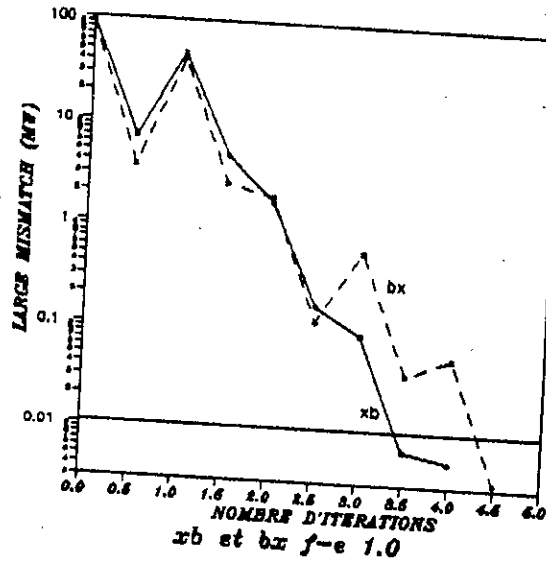
nombre des nœuds	F.E. facteur d'échelle	FDL					
		NR	BB	XB	BX	XX	RX
14	0.5	3	5-5	4-3	5-3	4-3	4-3
	1	3	20-20	4-4	5-4	7-6	5-4
	1.5	3	div	6-5	6-5	11-11	5-4
	2.0	3		9-6	6-5	16-15	6-5
	2.5	3		13-9	6-5	21-22	7-6
	3	3		18-11	7-6	28-28	7-6
	4	4		43-30	13-12	47-47	1210
	5	div		div	div	div	div
30	0.5	3	5-4	4-3	4-3	4-3	5-4
	1	3	17-17	4-4	5-4	7-6	5-4
	1.5	3	div	7-5	5-4	11-10	5-4
	2	3		10-8	5-4	16-16	5-6
	2.5	3		14-11	6-5	23-23	6-5
	3	3		20-15	7-7	31-30	6-7
	4	4		>60	45-40	>60	4032
57	0.5	3	5-5	4-3	4-3	4-4	5-4
	1	3	div	5-5	5-4	10-9	5-5
	1.5	3		6-5	5-5	20-19	6-5
	2	3		8-7	7-8	div	6-5
	2.5	3		11-9	8-9		6-6
	3	3		14-12	10-9		8-7
	4	4		div	19-18		13-13
	5	div			div		div

tol	14			30			57		
	XB	BX	RX	XB	BX	RX	XB	BX	RX
1.00	5-3	4-3	3-3	5-3	3-2	3-2	4-3	4-3	3-3
0.100	7-4	5-4	5-4	8-5	4-3	4-3	6-5	5-4	5-4
0.01	9-7	6-5	6-5	10-8	5-4	5-6	8-7	7-8	6-5
0.001	11-9	8-8	7-6	12	6-6	7-6	10-9	8-8	8-8

table(6.4) nombre d'itération pour plusieurs réseaux avec (F.E.R) égal à 2.0 tolérance en MW/Mvar

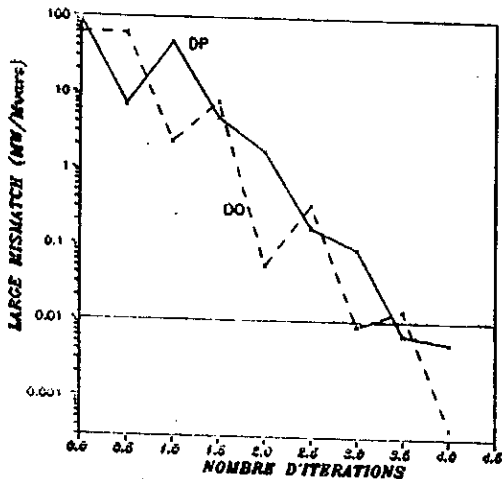
table (6.5) nombre d'itération pour plusieurs réseaux avec différents facteur d'échelle de X

	F.E	XB	BX	RX
14	1.0	4-4	5-4	div
	0.50	8-6	7-6	
	0.25	19-15	10-9	
	0.20	29-20	10-10	
	0.166	39-26	16-19	
	0.125		16-18	
	0.111		14-14	
	0.083		div	
30	1.00	4-3	5-4	div
	0.50	8-6	6-5	
	0.20	30-19	8-8	
	0.16	>60	9-9	
	0.10		14-18	
57	0.5	8-5	7-6	div
	0.25	18-13	11-12	
	0.20	27-59	13-15	
	0.166		22-33	
	0.125		27-40	

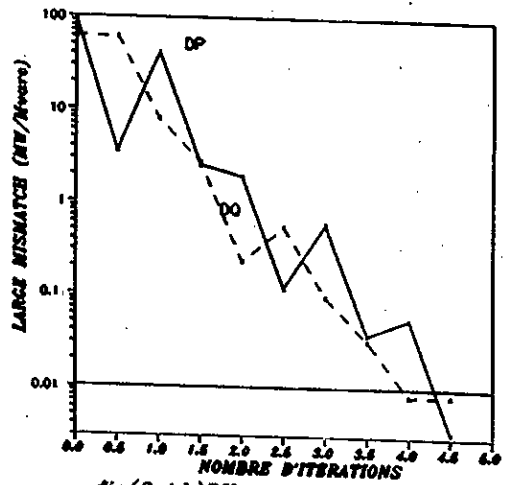


fig(6.6) type de convergence de FDL, XB et BX pour IEEE-14BUS SYSTEM
tolérance 0.01 MW

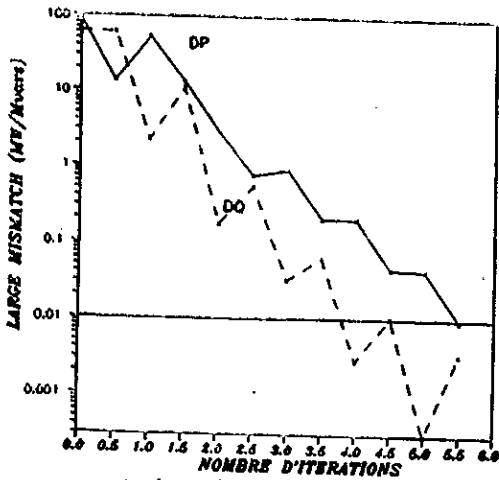
- version BX
- version XB



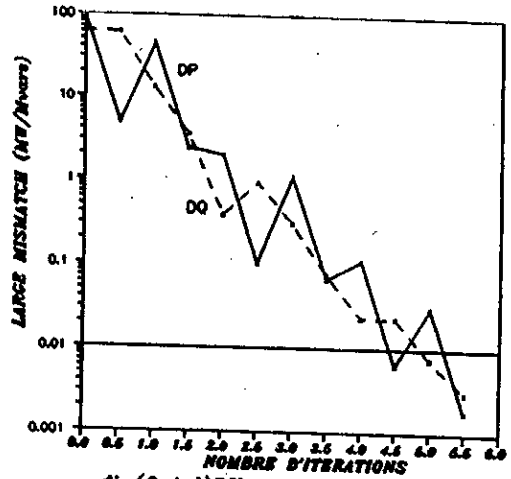
fig(6.4.a)XB r-scale1.0



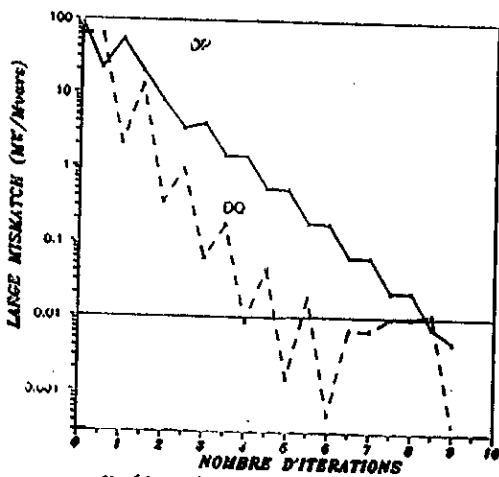
fig(6.4.b)BX r-scale1.0



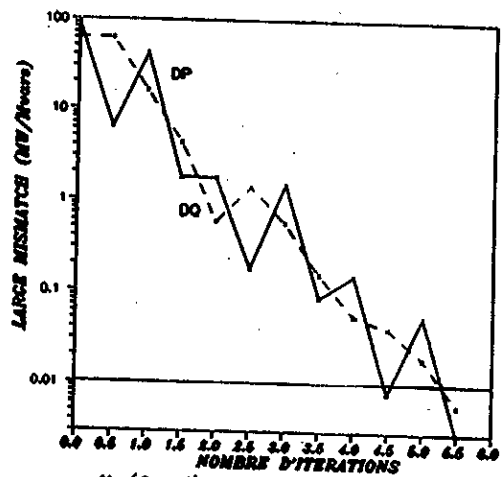
fig(6.4.c)XB r-scale1.5



fig(6.4.d)BX r-scale1.5



fig(6.4.e)XB r-scale2.0



fig(6.4.f)BX r-scale2.0

CONCLUSION

Dans ce projet, nous avons fait une synthèse des différentes méthodes de C.E.P, qui constitue un problème de base dans toute analyse des réseaux électriques.

Pour ce fait, nous avons élaborés trois programmes en FORTRAN de trois principales méthodes de l'écoulement de puissance. Les différents tests que nous avons fait sur IEEE standard SYSTEM et les résultats obtenus, nous permettent de tirer quelques conclusions.

La méthode de GAUSS-SEIDEL a le taux de convergence le plus lent et présente un échec dans la résolution de systemes ayant des branches capacitives (capacité série).

La méthode de NR apparait plus rapide et plus précise et plus fiable que la méthode de GAUSS-SEIDEL.

La méthode FDL standard (XB) est encore plus rapide que les méthodes précédentes. Sa fiabilité est grande pour le plupart des réseaux. cette méthode est basée sur trois hypothèses: des amplitudes de tensions arrondis à leur valeur nominale, des différences de phases petits, de rapport R/X petit pour toute les branches.

la première et la seconde condition sont valables dans le plupart de cas, mais la troisième condition est assez critique, elle constitue une limitation de l'utilisation de FDL dans des systemes ayant un rapport R/X élevé.

Dans notre projet, nous avons enlevés cette limitation de la FDL en introduisant certaine modifications dans la construction de B' et B" sans changer trop le programme de la FDL standard (XB), nous avons aboutit à deux nouvelles versions. Le deux nouvelles versions (BX et RX) sont plus efficaces et plus fiables que le FDL standard pour des larges rapports R/X élevés.

On conclut donc, que la méthode de GS est destinée pour C.E.P pendant la planification, la méthode NR plus rapide pour les opérations de contrôle des réseaux électriques et le FDL est le plus efficace, très rapide et fiable fonctionnant en temps réel.

BIBLIOGRAPHIES

BIBLIOGRAPHIE

- [1] TURAN GONEN, Modern power system analysis
édition JOHN WILEY & SONS 1987
- [2] W.STAGG et A. EL-ABIAD, Computer methods in power system analysis.
édition MacGRAW-HILL 1968
- [3] L.P.Singh. Advanced pwer system analysis and dynamics
édition JOHN & SONS
- [4] B.Brwon. Solution of large networks by martix methods
second edition JOHN & SONS 1985
- [5] OLLE-D. ELGERD. Electric energy systems theory
- [6] B.STOTT and O.ALSAC. Fast decoupled load flow
IEEE 1974
- [7] Wu,F.F Theoretical study of the convergence of the fast decoupled
load flow IEEE 1977
- [8] Robert A.M, Van Amerongen. A general purbose version of the fast
decoupled load flow. IEEE 1988
- [9] D.Rajicic and A.Bose. A modification to the fast decoupled power
flow for networks with high R/X ratios
IEEE 1987
- [10] A.BENSENOUCI et M.E AGGOUNE. Modélisation des réseaux
électriques (1990/1991)
- [11] Van Ness, Griffin. Elimination methods for load flow
studies IEEE 1961
- [12] Van Ness Iterative methods for digital load flow
IEEE 1959
- [13] M.Mersel et K.Meklat. Méthode de calcul rapide des
repartitions de puissance dans les réseaux électriques
P.F.E 1989 INES de BEJAIA
- [14] Tinney,W.f.,C.E.Hart. power flow solution by Newton's method.
IEEE 1970

- [15] A.GOURDIN et M.BOUMAHRAT. Méthodes numériques
appliquée édition O.P.U 1988
- [16] L.L.Freis. Investigation of the load flow problem
IEEE 1967
- [17] B.ŠTOTT Decoupled Newton load flow IEEE 1971

ANNEXE

ANNEXE I

THEOREME (A):

Soit F une fonction continuellement différentiable sur un domaine R définie par:

$$R = \{x \in \mathbb{R}^n / \|x - x^0\| < \epsilon\}$$

et $[A(x)]$ une matrice non singulière des éléments appartenant au domaine R .

On définit aussi:

$$c = \max_{\xi \in R} \|D\phi(\xi)\|$$

Si on suppose que:

1)
2)

$$c < 1$$

$$\|\phi(x^0) - x^0\| < (1-c)\epsilon$$

Donc:

1) Il existe une solution unique de $F(x) = y$ dans R

2) La séquence $\{x^0, x^1, \dots\}$ générée par ϕ converge au point fixe x^* de ϕ dans R

3)

$$\|x^i - x^*\| < \frac{c}{1-c} \|x^i - x^{i-1}\|$$

ANNEXE III

Table 3
IMPEDANCE AND LINE-CHARGING DATA

Line designation	Resistance p.u.*	Reactance p.u.*	Line charging p.u.*
1-2	0.01938	0.05917	0.0264
1-5	0.05403	0.22104	0.0246
2-3	0.04699	0.19797	0.0219
2-4	0.05811	0.17632	0.0187
2-5	0.05695	0.17388	0.0170
3-4	0.06701	0.17103	0.0173
4-5	0.01335	0.04211	0.0064
4-7	0	0.20912	0
4-9	0	0.55618	0
5-6	0	0.25202	0
6-11	0.09498	0.19290	0
6-12	0.12291	0.25581	0
6-13	0.06615	0.13027	0
7-8	0	0.17615	0
7-9	0	0.11001	0
9-10	0.03181	0.08450	0
9-14	0.12711	0.27038	0
10-11	0.08205	0.19207	0
12-13	0.22092	0.19988	0
13-14	0.17093	0.34802	0

* Impedance and line-charging susceptance in p.u. on a 100000kVA base
Line charging one-half of total charging of line

TRANSFORMER DATA

Transformer designation	Tap setting*
4-7	0.978
4-9	0.969
5-6	0.932

* Off-normal turns ratio, as determined by the actual transformer tap positions and the voltage bases. In the case of nominal turns ratio, this would equal 1

Table 4
OPERATING CONDITIONS

Bus number	Starting bus voltage		Generation		Load	
	Magnitude p.u.	Phase angle deg	MW	MVAR	MW	MVAR
1*	1.06	0	0	0	0	0
2	1.0	0	40	0	21.7	12.7
3	1.0	0	0	0	94.2	19.0
4	1.0	0	0	0	47.8	-3.9
5	1.0	0	0	0	7.6	1.6
6	1.0	0	0	0	11.2	7.5
7	1.0	0	0	0	0	0
8	1.0	0	0	0	0	0
9	1.0	0	0	0	29.5	16.6
10	1.0	0	0	0	9.0	5.8
11	1.0	0	0	0	3.5	1.8
12	1.0	0	0	0	6.1	1.6
13	1.0	0	0	0	13.5	5.8
14	1.0	0	0	0	14.9	5.0

* Swing machine

STATIC CAPACITOR DATA

Bus number	Susceptance** p.u.
9	0.19

** Susceptance in p.u. on a 100000kVA base

Table 5
REGULATED BUS DATA

Bus number	Voltage magnitude, p.u.	Minimum MVAR capability	Maximum MVAR capability
2	1.045	-40	50
3	1.010	0	40
6	1.070	-6	24
8	1.090	-6	24

8.6.3 C: AEP 30-bus test-system Impedance and line-charging data

Table 6

IMPEDANCE AND LINE-CHARGING DATA 41 branches

Line designation	Resistance p.u.*	Reactance p.u.*	Line charging p.u.*
1-2	0.0192	0.0575	0.0264 ✓
1-3	0.0452	0.1852	0.0204
2-4	0.0570	0.1737	0.0184
3-4	0.0132	0.0379	0.0042
2-5	0.0472	0.1983	0.0209
2-6	0.0581	0.1763	0.0187
4-6	0.0119	0.0414	0.0045
5-7	0.0460	0.1160	0.0102
6-7	0.0267	0.0820	0.0085
6-8	0.0120	0.0420	0.0045
6-9	0	0.2080	0
6-10	0	0.5560	0
9-11	0	0.2080	0
9-10	0	0.1100	0
4-12	0	0.2560	0
12-13	0	0.1400	0
12-14	0.1231	0.2559	0
12-15	0.0662	0.1304	0
12-16	0.0945	0.1987	0
14-15	0.2210	0.1997	0
16-17	0.0824	0.1923	0
15-18	0.1070	0.2185	0
18-19	0.0639	0.1292	0
19-20	0.0340	0.0680	0
10-20	0.0936	0.2090	0
10-17	0.0324	0.0845	0
10-21	0.0348	0.0749	0
10-22	0.0727	0.1499	0
21-23	0.0116	0.0236	0
15-23	0.1000	0.2020	0
22-24	0.1150	0.1790	0
23-24	0.1229	0.2700	0
24-25	0.1885	0.3292	0
25-26	0.2544	0.3800	0
25-27	0.1093	0.2087	0
27-28	0	0.3960	0
27-29	0.2198	0.4153	0
27-30	0.3202	0.6027	0
29-30	0.2399	0.4533	0
8-28	0.0636	0.2000	0.0214
6-28	0.0169	0.0599	0.0065

* Impedance and line-charging susceptance in p.u. on a 100000kVA base. Line charging one-half of total charging of line.

STATIC CAPACITOR DATA

Bus number	Susceptance* p.u.
10	0.19
24	0.043

* Susceptance in p.u. on a 100000kVA base

Table 7

OPERATING CONDITIONS

Bus number	Starting bus voltage		Generation		Load	
	Magnitude p.u.	Phase angle degrees	MW	MVAR	MW	MVAR
1*	1.06	0	0	0	0	0
2	1.0	0	40	0	21.7	12.7
3	1.0	0	0	0	2.4	1.2
4	1.0	0	0	0	7.6	1.6
5	1.0	0	0	0	94.2	19.0
6	1.0	0	0	0	0	0
7	1.0	0	0	0	22.8	10.9
8	1.0	0	0	0	30.0	30.0
9	1.0	0	0	0	0	0
10	1.0	0	0	0	5.8	2.0
11	1.0	0	0	0	0	0
12	1.0	0	0	0	11.2	7.5
13	1.0	0	0	0	0	0
14	1.0	0	0	0	6.2	1.6
15	1.0	0	0	0	8.2	2.5
16	1.0	0	0	0	3.5	1.8
17	1.0	0	0	0	9.0	5.8
18	1.0	0	0	0	3.2	0.9
19	1.0	0	0	0	9.5	3.4
20	1.0	0	0	0	2.2	0.7
21	1.0	0	0	0	17.5	11.2
22	1.0	0	0	0	0	0
23	1.0	0	0	0	3.2	1.6
24	1.0	0	0	0	8.7	6.7
25	1.0	0	0	0	0	0
26	1.0	0	0	0	3.5	2.3
27	1.0	0	0	0	0	0
28	1.0	0	0	0	0	0
29	1.0	0	0	0	2.4	0.9
30	1.0	0	0	0	10.6	1.9

* Swing machine

REGULATED BUS DATA

Bus number	Voltage magnitude p.u.	Minimum MVAR capability	Maximum MVAR capability
2	1.045	-40	50
5	1.01	-40	40
8	1.01	-10	40
11	1.082	-6	24
13	1.071	-6	24

Table 9

TRANSFORMER DATA

Transformer designation	Tap setting*
4-12	0.932
6-9	0.978
6-10	0.969
28-27	0.968

* Off-nominal turns ratio, as determined by the actual transformer-tap positions and the voltage bases. In the case of nominal turns ratio, this would equal 1

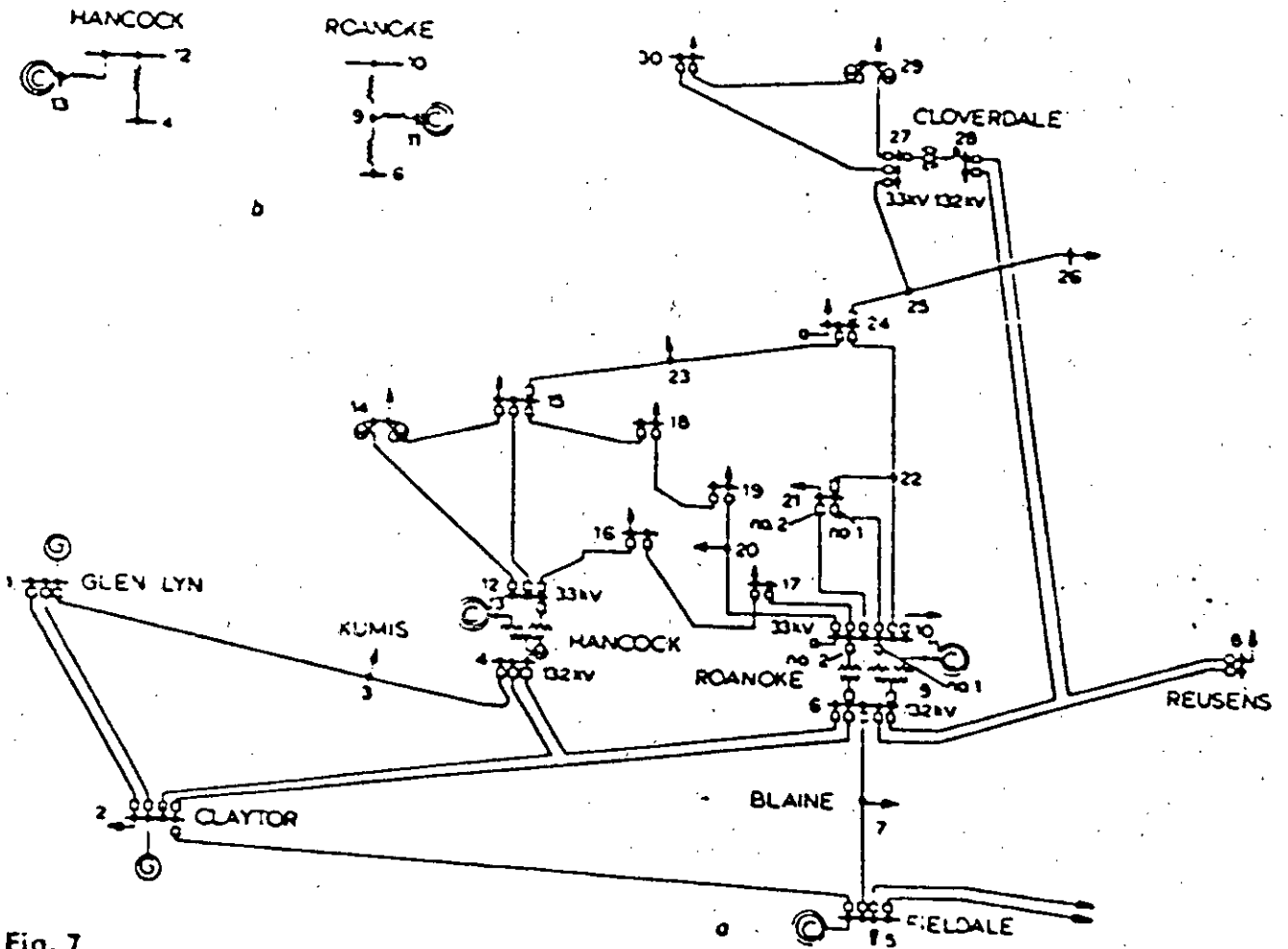


Fig. 7
AEP 30 bus test system

(C) synchronous compensators

(G) generators

a Bus-code diagram

b 3-winding transformer equivalents

9.6.4 D: AEP 57 bus test system

Table 10

IMPEDANCE AND LINE-CHARGING DATA

Line designation	Resistance p.u.*	Reactance p.u.*	Line charging p.u.*
1-2	0-0083	0-0280	0-0645
2-3	0-0298	0-0350	0-0409
3-4	0-0112	0-0366	0-0190
4-5	0-0625	0-1320	0-0129
4-6	0-0430	0-1480	0-0174
6-7	0-0200	0-1020	0-0138
6-8	0-0339	0-1730	0-0235
8-9	0-0099	0-0505	0-0274
9-10	0-0369	0-1679	0-0220
9-11	0-0258	0-0848	0-0109
9-12	0-0648	0-2950	0-0386
9-13	0-0481	0-1580	0-0203
13-14	0-0132	0-0434	0-0055
13-15	0-0269	0-0369	0-0115
1-15	0-0178	0-0910	0-0494
1-16	0-0454	0-2060	0-0273
1-17	0-0238	0-1080	0-0143
3-15	0-0162	0-0530	0-0272
4-18	0	0-555	0
4-18	0	0-43	0
5-6	0-0302	0-0641	0-0062
7-8	0-0139	0-0712	0-0097
10-12	0-0277	0-1262	0-0164
11-13	0-0223	0-0732	0-0094
12-13	0-0178	0-0580	0-0302
12-16	0-0180	0-0813	0-0108
12-17	0-0397	0-1790	0-0238
14-15	0-0171	0-0547	0-0074
18-19	0-4610	0-6850	0
19-20	0-2830	0-4340	0
20-21	0	0-7767	0
21-22	0-0736	0-1170	0
22-23	0-0099	0-0152	0
23-24	0-1660	0-2560	0-0042
24-25	0	1-182	0
24-25	0	1-23	0
24-26	0	0-0473	0
26-27	0-1650	0-2540	0
27-28	0-0618	0-0954	0
28-29	0-0418	0-0587	0
7-29	0	0-0648	0
25-30	0-1350	0-2020	0
30-31	0-3260	0-4970	0
31-32	0-5070	0-7550	0
32-33	0-0392	0-0360	0
32-34	0	0-9530	0
34-35	0-0520	0-0780	0-0016
35-36	0-0430	0-0537	0-0008
36-37	0-0290	0-0366	0
37-38	0-0651	0-1009	0-0010
37-39	0-0239	0-0379	0
36-40	0-0300	0-0466	0
22-38	0-0192	0-0295	0
11-41	0	0-7490	0
41-42	0-2070	0-3520	0
41-43	0	0-4120	0
38-44	0-0289	0-0585	0-0010
15-45	0	0-1042	0
14-46	0	0-0735	0
46-47	0-0230	0-0680	0-0016
47-48	0-0182	0-0233	0
48-49	0-0834	0-1290	0-0024
49-50	0-0801	0-1280	0
50-51	0-1386	0-2200	0
10-51	0	0-0712	0
13-49	0	0-1910	0
29-52	0-1442	0-1870	0
52-53	0-0762	0-0984	0
53-54	0-1878	0-2320	0
54-55	0-1732	0-2265	0
11-43	0	0-1530	0
44-45	0-0624	0-1242	0-0020
40-56	0	1-1950	0
56-41	0-5530	0-5490	0
56-42	0-2125	0-3540	0
39-57	0	1-3550	0
57-56	0-1740	0-2600	0
38-49	0-1150	0-1770	0-0030
38-48	0-0312	0-0482	0
9-55	0	0-1205	0

* Impedance and line charging susceptance in p.u. on a 100000kVA base. Line charging: one-half of total charging of line

Table 11

OPERATING CONDITIONS

Bus number	Starting bus voltage		Generation		Load	
	Magnitude p.u.	Phase angle deg.	MW	MVAR	MW	MVAR
1*	1-04	0	0	0	55-0	17-0
2	1-0	0	0	0	3-0	88-0
3	1-0	0	40	0	41-0	21-0
4	1-0	0	0	0	0	0
5	1-0	0	0	0	13-0	4-0
6	1-0	0	0	0	75-0	2-0
7	1-0	0	0	0	0	0
8	1-0	0	450	0	150-0	22-0
9	1-0	0	0	0	121-0	26-0
10	1-0	0	0	0	5-0	2-0
11	1-0	0	0	0	0	0
12	1-0	0	310	0	377-0	24-0
13	1-0	0	0	0	18-0	2-3
14	1-0	0	0	0	10-5	5-3
15	1-0	0	0	0	22-0	5-0
16	1-0	0	0	0	43-0	3-0
17	1-0	0	0	0	42-0	8-0
18	1-0	0	0	0	27-2	9-8
19	1-0	0	0	0	3-3	0-6
20	1-0	0	0	0	2-3	1-0
21	1-0	0	0	0	0	0
22	1-0	0	0	0	0	0
23	1-0	0	0	0	6-3	2-1
24	1-0	0	0	0	0	0
25	1-0	0	0	0	6-3	3-2
26	1-0	0	0	0	0	0
27	1-0	0	0	0	9-3	0-5
28	1-0	0	0	0	4-6	2-3
29	1-0	0	0	0	17-0	2-6
30	1-0	0	0	0	3-6	1-8
31	1-0	0	0	0	5-8	2-9
32	1-0	0	0	0	1-6	0-3
33	1-0	0	0	0	3-8	1-9
34	1-0	0	0	0	0	0
35	1-0	0	0	0	6-0	3-0
36	1-0	0	0	0	0	0
37	1-0	0	0	0	0	0
38	1-0	0	0	0	14-0	7-0
39	1-0	0	0	0	0	0
40	1-0	0	0	0	0	0
41	1-0	0	0	0	6-3	3-0
42	1-0	0	0	0	7-1	4-4
43	1-0	0	0	0	2-0	1-0
44	1-0	0	0	0	12-0	1-8
45	1-0	0	0	0	0	0
46	1-0	0	0	0	0	0
47	1-0	0	0	0	29-7	11-6
48	1-0	0	0	0	0	0
49	1-0	0	0	0	18-0	8-5
50	1-0	0	0	0	21-0	10-5
51	1-0	0	0	0	18-0	5-3
52	1-0	0	0	0	4-9	2-2
53	1-0	0	0	0	20-0	10-0
54	1-0	0	0	0	4-1	1-4
55	1-0	0	0	0	6-8	3-4
56	1-0	0	0	0	7-6	2-2
57	1-0	0	0	0	6-7	2-0

* Swing machine

Table 12

REGULATED BUS DATA

Bus number	Voltage magnitude p.u.	Minimum MVAR capability	Maximum MVAR capability
2	1.01	-17	50
3	0.985	-10	60
6	0.98	-8	25
8	1.005	-140	200
9	0.98	-3	9
12	1.015	-50	155

Table 14

TRANSFORMER DATA

Transformer designation	Tap setting*
4-18	0.97
4-18	0.978
7-29	0.967
9-55	0.94
10-51	0.93
11-41	0.955
11-43	0.958
13-19	0.895
14-46	0.9
15-45	0.955
21-20	1.043
24-25	1.000
24-25	1.000
24-26	1.043
34-32	0.975
39-57	0.98
40-56	0.958

Table 13

STATIC CAPACITOR DATA

Bus number	Susceptance* p.u.
18	0.1
25	0.059
53	0.063

* Susceptance in p.u. on a 100,000 kVA base

* Off-nominal turns ratio, as determined by the actual transformer-tap positions and the voltage base. In the case of nominal turns ratio, this would equal 1

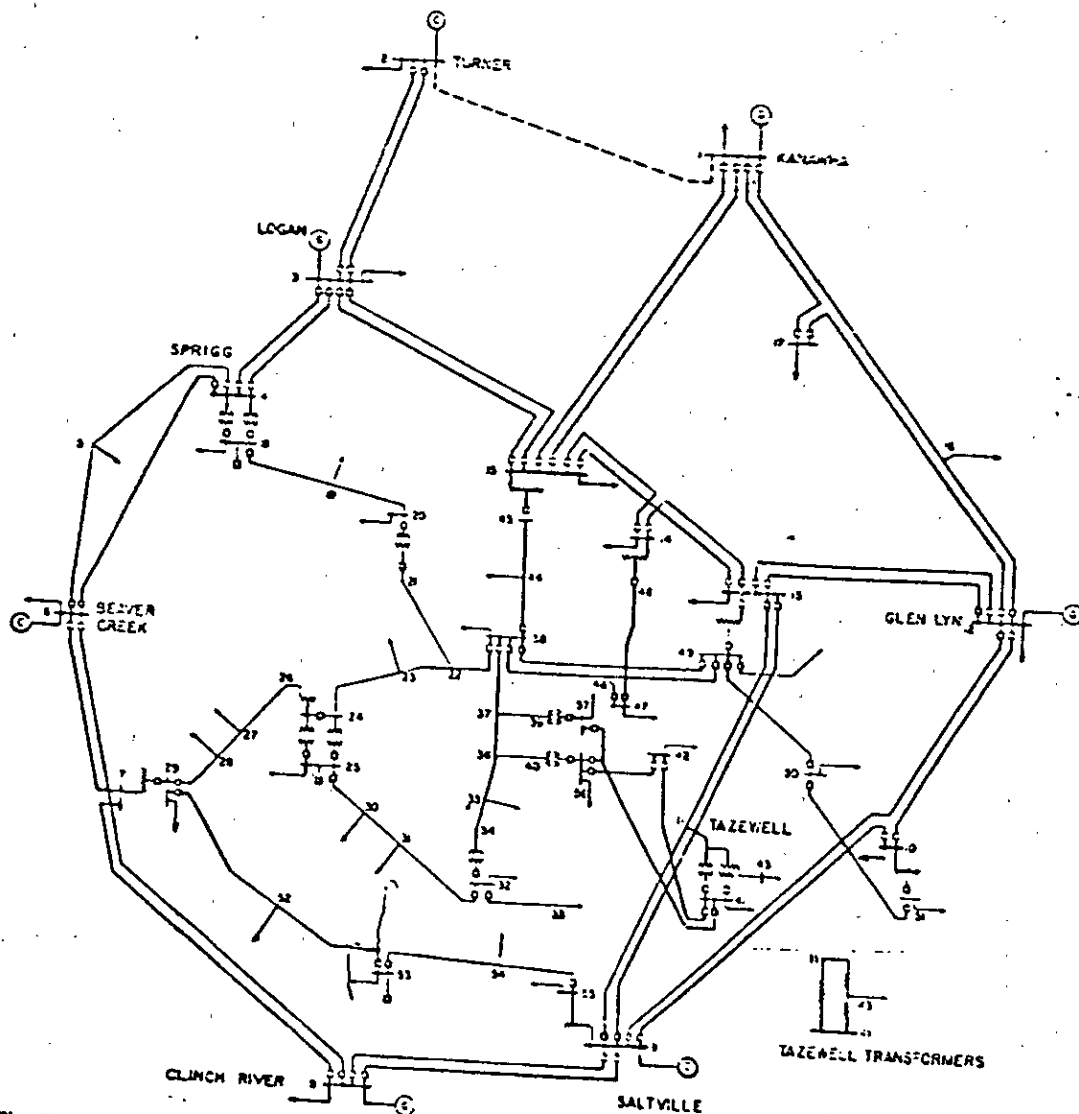


Fig. 8
AEP 57 bus test system
Bus-code diagram

- (C) synchronous compensators
- (G) generators

ANNEXE III

***** GAUSS SEIDEL OUTPUT *****

ERROR NUMBER OF ITERATION ACCLERATION FACTOR
0.000010 29 1.7000

I	V	θ	P	Q
	(pu)	degré	MW	Mvar
1	1.0600	0.0000	232.362	-16.891
2	1.0450	-4.9805	18.300	29.690
3	1.0100	-12.7171	-94.200	4.391
4	1.0186	-10.3230	-47.800	3.900
5	1.0203	-8.7814	-7.600	-1.600
6	1.0700	-14.2212	-11.200	4.740
7	1.0619	-13.3665	0.000	0.000
8	1.0900	-13.3664	0.000	17.357
9	1.0563	-14.9448	-29.500	-16.600
10	1.0513	-15.1026	-9.000	-5.800
11	1.0571	-14.7938	-3.500	-1.800
12	1.0552	-15.0762	-6.100	-1.600
13	1.0504	-15.1575	-13.500	-5.800
14	1.0358	-16.0374	-14.900	-5.000

***** line flow *****

LN	BUS1	BUS2	Pij	Qij
			MW	Mvar
1	1	2	156.833	-20.393
1	2	1	-152.538	27.656
2	1	5	75.553	3.504
2	5	1	-72.789	2.580
3	2	3	73.188	3.565
3	3	2	-70.868	1.584
4	2	4	56.138	-2.288
4	4	2	-54.461	3.394
5	2	5	41.512	0.763
5	5	2	-40.610	-1.634
6	3	4	-23.332	2.809
6	4	3	23.703	-5.421
7	4	5	-61.219	15.670
7	5	4	61.736	-15.371
8	4	7	28.087	-9.421
8	7	4	-28.087	11.113
9	4	9	16.090	-0.321
9	9	4	-16.090	1.625
10	5	6	44.063	12.824
10	6	5	-44.063	-8.395
11	6	11	7.341	3.472
11	11	6	-7.287	-3.358
12	6	12	7.782	2.492
12	12	6	-7.710	-2.343
13	6	13	17.740	7.171
13	13	6	-17.529	-6.754
14	7	8	0.000	-16.910
14	8	7	0.000	17.357
15	7	9	28.087	5.797
15	9	7	-28.087	-4.995
16	9	10	5.239	4.306
16	10	9	-5.226	-4.271
17	9	14	9.438	3.666
17	14	9	-9.321	-3.417
18	10	11	-3.774	-1.529
18	11	10	3.786	1.558
19	12	13	1.610	0.743
19	13	12	-1.604	-0.737
20	13	14	5.632	1.692
20	14	13	-5.579	-1.583

***** output of NR method *****

3 Iterations erreur = 0.01(MW/Mvar) 14bus

I	V	θ	P	Q
	PU	Degré	MW	Mvar
1	1.0600	0.0000	232.386	-16.889
2	1.0450	-4.9810	18.300	29.697
3	1.0100	-12.7180	-94.200	4.394
4	1.0186	-10.3242	-47.800	3.901
5	1.0203	-8.7826	-7.600	-1.600
6	1.0700	-14.2227	-11.200	4.741
7	1.0620	-13.3682	0.000	0.000
8	1.0900	-13.3682	0.000	17.357
9	1.0563	-14.9466	-29.500	-16.600
10	1.0513	-15.1043	-9.000	-5.800
11	1.0571	-14.7953	-3.500	-1.800
12	1.0552	-15.0774	-6.100	-1.600
13	1.0504	-15.1589	-13.500	-5.800
14	1.0358	-16.0389	-14.900	-5.000

***** LINE FLOW *****

LN	BUS1	BUS2	Pij	Qij
			(MW)	(Mvar)
1	1	2	156.819	-20.394
1	2	1	-152.525	27.655
2	1	5	75.543	3.503
2	5	1	-72.780	2.578
3	2	3	73.185	3.564
3	3	2	-70.865	1.584
4	2	4	56.130	-2.287
4	4	2	-54.454	3.392
5	2	5	41.505	0.764
5	5	2	-40.603	-1.637
6	3	4	-23.336	2.810
6	4	3	23.707	-5.422
7	4	5	-61.215	15.675
7	5	4	61.731	-15.376
8	4	7	28.082	-9.418
8	7	4	-28.082	11.109
9	4	9	16.088	-0.319
9	9	4	-16.088	1.623
10	5	6	44.061	12.826
10	6	5	-44.061	-8.397
11	6	11	7.341	3.473
11	11	6	-7.287	-3.359
12	6	12	7.784	2.493
12	12	6	-7.712	-2.343
13	6	13	17.741	7.172
13	13	6	-17.529	-6.755
14	7	8	0.000	-16.911
14	8	7	0.000	17.358
15	7	9	28.086	5.800
15	9	7	-28.086	-4.998
16	9	10	5.242	4.307
16	10	9	-5.229	-4.272
17	9	14	9.440	3.665
17	14	9	-9.323	-3.416
18	10	11	-3.773	-1.531
18	11	10	3.785	1.560
19	12	13	1.609	0.744
19	13	12	-1.603	-0.738
20	13	14	5.632	1.692
20	14	13	-5.579	-1.583

***** output of FDL method *****

4 Iterations erreur = 0.01(MW/Mvar) 14 bus

I	V	θ	P	Q
	(pu)	degré	(MW)	(Mvar)
1	1.0600	0.0000	232.380	-16.887
2	1.0450	-4.9808	18.305	29.695
3	1.0100	-12.7176	-94.195	4.392
4	1.0186	-10.3241	-47.804	3.900
5	1.0203	-8.7825	-7.604	-1.600
6	1.0700	-14.2223	-11.195	4.741
7	1.0620	-13.3680	-0.001	0.000
8	1.0900	-13.3680	0.000	17.357
9	1.0563	-14.9463	-29.498	-16.600
10	1.0513	-15.1040	-8.999	-5.800
11	1.0571	-14.7950	-3.502	-1.800
12	1.0552	-15.0771	-6.100	-1.600
13	1.0504	-15.1586	-13.501	-5.800
14	1.0358	-16.0386	-14.900	-5.000

***** line flow *****

LN	BUS1	BUS2	Pij	Qij
			MW	Mvar
1	1	2	156.828	-20.391
1	2	1	-152.533	27.654
2	1	5	75.552	3.504
2	5	1	-72.788	2.580
3	2	3	73.186	3.565
3	3	2	-70.866	1.584
4	2	4	56.139	-2.287
4	4	2	-54.462	3.394
5	2	5	41.513	0.763
5	5	2	-40.611	-1.634
6	3	4	-23.329	2.808
6	4	3	23.701	-5.421
7	4	5	-61.218	15.669
7	5	4	61.734	-15.370
8	4	7	28.086	-9.421
8	7	4	-28.086	11.113
9	4	9	16.089	-0.321
9	9	4	-16.089	1.625
10	5	6	44.061	12.823
10	6	5	-44.061	-8.395
11	6	11	7.343	3.472
11	11	6	-7.288	-3.358
12	6	12	7.782	2.492
12	12	6	-7.711	-2.343
13	6	13	17.741	7.171
13	13	6	-17.529	-6.754
14	7	8	0.000	-16.910
14	8	7	0.000	17.357
15	7	9	28.085	5.797
15	9	7	-28.085	-4.995
16	9	10	5.239	4.306
16	10	9	-5.226	-4.271
17	9	14	9.438	3.666
17	14	9	-9.321	-3.417
18	10	11	-3.774	-1.529
18	11	10	3.786	1.558
19	12	13	-1.610	0.743
19	13	12	-1.604	-0.737
20	13	14	5.632	1.692
20	14	13	-5.579	-1.583